

(12) МЕЖДУНАРОДНАЯ ЗАЯВКА, ОПУБЛИКОВАННАЯ В
СООТВЕТСТВИИ С ДОГОВОРОМ О ПАТЕНТНОЙ КООПЕРАЦИИ (РСТ)

(19) Всемирная Организация
Интеллектуальной Собственности

Международное бюро

(43) Дата международной публикации
20 мая 2021 (20.05.2021)



(10) Номер международной публикации

WO 2021/096391 A1

(51) Международная патентная классификация:

C12N 15/63 (2006.01) C12N 9/10 (2006.01)
C12N 15/75 (2006.01) C12Q 1/6806 (2018.01)

(21) Номер международной заявки: PCT/RU2020/050145

(22) Дата международной подачи:

02 июля 2020 (02.07.2020)

(25) Язык подачи:

Русский

(26) Язык публикации:

Русский

(30) Данные о приоритете:

2019136164 11 ноября 2019 (11.11.2019) RU

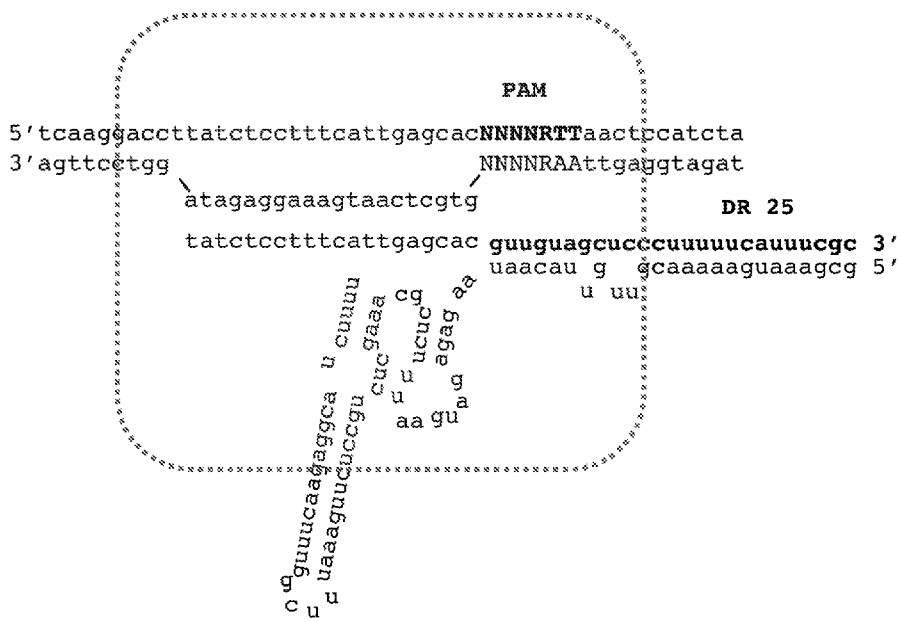
(71) Заявитель: ЗАКРЫТОЕ АКЦИОНЕРНОЕ ОБЩЕСТВО "БИОКАД" (JOINT STOCK COMPANY "BIOCADC") [RU/RU]; Литер А, д. 34, ул. Связи,

п.Стрельна, Петродворцовый район, Санкт-Петербург, 198515, Saint Petersburg (RU).

(72) Изобретатели: СЕВЕРИНОВ, Константин Викторович (SEVERINOV, Konstantin Viktorovich); ул. Дмитрия Ульянова, 4/2, кв. 368 Москва, 188301, Moscow (RU). ШМАКОВ, Сергей Анатольевич (SHMAKOV, Sergey Anatolievich); Московская обл., ул. Пионерская, 14, кв. 15. Воскресенск, 140200, Voskresensk (RU). АРТАМОНОВА, Дарья Николаевна (ARTAMONOVA, Daria Nikolaevna); ул. Маршала Тимошенко, 9-59. Москва, 121359, Moscow (RU). ГОРЯНИН, Игнатий Игоревич (GORYANIN, Ignaty Igorevich); ул. Кировоградская 16, здание 1, кв. 351. Москва, 117587, Moscow (RU). МУШАРОВА, Ольга Сергеевна (MUSHAROVA, Olga Sergeevna); ул. Рогова, 7, стр. 2, кв. 289 Москва, 123098, Moscow

(54) Title: USE OF CAS9 PROTEIN FROM THE BACTERIUM PASTEURELLA PNEUMOTROPICA

(54) Название изобретения: ПРИМЕНЕНИЕ CAS9 БЕЖА ИЗ БАКТЕРИИ PASTEURELLA PNEUMOTROPICA



Фиг. 11

(57) Abstract: The present invention describes a novel bacterial nuclease of a CRISPR-Cas9 system from the bacterium *P. pneumotropica*, as well as the use of said nuclease for creating strictly specific two-strand cuts in a DNA molecule. Said nuclease has unusual properties and can be used for changing the sequence of genomic DNA in a cell of a unicellular or multicellular organism. The invention thus increases the universality of accessible CRISPR-Cas9 systems, making it possible to use different Cas9 nuclease variants to cut genomic or plasmid DNA in various organisms, in a large number of specific sites and/or under different conditions.

(57) Реферат: Настоящее изобретение описывает новую бактериальную нуклеазу системы CRISPR-Cas9 из бактерии *P. pneumotropica*, а также ее применение для образования строго специфичных двунитевых разрывов в молекуле ДНК. Данная

WO 2021/096391 A1



(RU). **АНДРЕЕВА, Юлия Валерьевна (ANDREEVA, Julia Valerevna)**; Московский, ул. Москвитина 3-2-108 Москва, 142784, Moscow (RU). **ЗЮБКО, Татьяна Игоревна (ZYUBKO, Tatiana Igorevna)**; ул. Яхтенная 3, стр. 1 Санкт-Петербург, 197374, Sankt-Peterburg (RU). **ФЁДОРОВА, Яна Витальевна (FEDOROVA, Iana Vitalevna)**; Ленинградская обл., ул. Куприна 40, 14 Гатчина, 188301, Gatchina (RU). **ХОДОРКОВСКИЙ, Михаил Алексеевич (KHODORKOVSKIY, Mikhail Alekseevich)**; пр. Косыгина, д. 23, к. 1, кв. 268 Санкт-Петербург, 195426, Sankt-Peterburg (RU). **ПОБЕГАЛОВ, Георгий Евгеньевич (POBEGALOV, George Evgenievich)**; ул. Партизана Германа, д.12, кв.317 Санкт-Петербург, 198205, Sankt-Peterburg (RU). **АРСЕНИЕВ, Анатолий Николаевич (ARSENIEV, Anatoliy Nikolaevich)**; пр.Новочеркасский 25, к.1, кв.36 Санкт-Петербург, 195112, Sankt-Peterburg (RU). **СЕЛЬКОВА, Полина Анатольевна (SELKOVA, Polina Anatolevna)**; рес. Удмуртская, ул. Верхняя, дом 15, кв. 72 Воткинск, 427439, Votkinsk (RU). **ВАСИЛЬЕВА, Александра Андреевна (VASILIEVA, Aleksandra Andreevna)**; ул. Партизана Германа, д. 41, кв. 144 Санкт-Петербург, 198334, Sankt-Peterburg (RU). **АРТАМОНОВА, Татьяна Олеговна (ARTAMONOVA, Tatiana Olegovna)**; ул. Наличная, д. 27, кв. 7 Санкт-Петербург, 199406, Sankt-Peterburg (RU). **АБРАМОВА, Марина Викторовна (ABRAMOVA, Marina Viktorovna)**; пр. Непокорённых, д.8, корпус 2 Санкт-Петербург, 194021, Sankt-Peterburg (RU).

(74) Агент: **КОТЛОВ, Дмитрий Владимирович (KOTLOV, Dmitry Vladimirovich)**; ООО "ЦИС "Сколково", Территория инновационного центра "Сколково", дом 4, оф.402.1 Москва, 143026, Moscow (RU).

(81) Указанные государства (если не указано иначе, для каждого вида национальной охраны): AE, AG, AL, AM, AO, AT, AU, AZ, BA, BB, BG, BH, BN, BR, BW, BY, BZ, CA, CH, CL, CN, CO, CR, CU, CZ, DE, DJ, DK, DM, DO, DZ, EC, EE, EG, ES, FI, GB, GD, GE, GH, GM, GT, HN, HR, HU, ID, IL, IN, IR, IS, IT, JO, JP, KE, KG, KH, KN, KP, KR, KW, KZ, LA, LC, LK, LR, LS, LU, LY, MA, MD, ME, MG, MK, MN, MW, MX, MY, MZ, NA, NG, NI, NO, NZ, OM, PA, PE, PG, PH, PL, PT, QA, RO, RS, RU, RW, SA, SC, SD, SE, SG, SK, SL, ST, SV, SY, TH, TJ, TM, TN, TR, TT, TZ, UA, UG, US, UZ, VC, VN, WS, ZA, ZM, ZW.

(84) Указанные государства (если не указано иначе, для каждого вида региональной охраны): ARIPO (BW, GH, GM, KE, LR, LS, MW, MZ, NA, RW, SD, SL, ST, SZ, TZ, UG, ZM, ZW), евразийский (AM, AZ, BY, KG, KZ, RU, TJ, TM), европейский патент (AL, AT, BE, BG, CH, CY, CZ, DE, DK, EE, ES, FI, FR, GB, GR, HR, HU, IE, IS, IT, LT, LU, LV, MC, MK, MT, NL, NO, PL, PT, RO, RS, SE, SI, SK, SM, TR), OAPI (BF, BJ, CF, CG, CI, CM, GA, GN, GQ, GW, KM, ML, MR, NE, SN, TD, TG).

Опубликована:

- с отчётом о международном поиске (статья 21.3)
- с перечнем последовательностей в соответствии с Правилом 5.2(а)
- в черно-белом варианте; международная заявка в поданном виде содержит цвет или оттенки серого и доступна для загрузки из PATENTSCOPE.

ПРИМЕНЕНИЕ CAS9 БЕЖА ИЗ БАКТЕРИИ PASTEURELLA PNEUMOTROPICA

Область техники

Изобретение относится к биотехнологии, а именно, к новым ферментам, Cas нуклеазам систем CRISPR-Cas, применяемым для разрезания ДНК и редактирования генома различных организмов. Данная технология может применяться в будущем для генной терапии наследственных заболеваний человека, а также для редактирования генома других организмов.

Уровень техники

Изменение последовательности ДНК – одна из актуальных задач биотехнологии на сегодняшний день. Редактирование и изменение геномов эукариотических и прокариотических организмов, а также манипуляции с ДНК *in vitro*, требуют направленного внесения двунитевых разрывов в последовательности ДНК.

Для решения этой задачи в настоящее время используют следующие методики: искусственные нуклеазные системы, содержащей домены типа «цинковые пальцы», TALEN-системы и бактериальные CRISPR-Cas системы. Первые два метода требуют трудозатратной оптимизации аминокислотной последовательности нуклеазы для узнавания конкретной последовательности ДНК. В отличие от них в случае CRISPR-Cas систем структурами, узнающими ДНК мишень, являются не белки, а короткие направляющие РНК. Разрезание конкретной ДНК мишени не требует синтеза нуклеазы или ее гена *de novo*, а обеспечивается за счет использования направляющих РНК, комплементарных целевой последовательности. Это делает CRISPR Cas системы удобными и эффективными инструментами разрезания различных ДНК-последовательностей. Методика позволяет осуществлять единовременное разрезание ДНК в нескольких участках при использовании направляющих РНК разной последовательностей. Такой подход используется в том числе для одновременного изменения нескольких генов в эукариотических организмах.

По своей природе CRISPR-Cas системы являются иммунными системами прокариот, способными высоко специфично вносить разрывы в генетический материал вирусов (Mojica F. J. M. et al. Intervening sequences of regularly spaced prokaryotic repeats derive from foreign genetic elements //Journal of molecular evolution. – 2005. – Т. 60. – №. 2. – С. 174-182). Аббревиатура CRISPR-Cas расшифровывается как “Clustered Regularly Interspaced Short Palindromic Repeats and CRISPR associated genes” (Jansen R. et al. Identification of genes that are associated with DNA repeats in prokaryotes //Molecular microbiology. – 2002. – Т. 43. – №. 6. – С. 1565-1575), что переводе с английского обозначает “короткие палиндромные повторы, регулярно расположенные группами, и ассоциированные с ними гены”. Все CRISPR-Cas системы состоят из CRISPR кассет и генов, кодирующих различные Cas белки (Jansen R. et al., Molecular microbiology. – 2002. –

Т. 43. – №. 6. – С. 1565-1575). CRISPR кассеты состоят из последовательностей-спейсеров, каждый из которых имеет уникальную нуклеотидную последовательность, и повторяющихся палиндромных повторов (Jansen R. et al., Molecular microbiology. – 2002. – Т. 43. – №. 6. – С. 1565-1575). В результате транскрипции CRISPR кассет и их последующего процессинга образуются направляющие крРНК, которые вместе с Cas белками формируют эффекторный комплекс (Brouns S. J. J. et al. Small CRISPR RNAs guide antiviral defense in prokaryotes //Science. – 2008. – Т. 321. – №. 5891. – С. 960-964). За счет комплементарного спаривания крРНК с целевым участком ДНК, именуемым протоспейсером, Cas-нуклеаза узнает ДНК-мишень и высоко специфично вносит в нее разрыв.

CRISPR-Cas системы, представленными одиночным белком-эффектором, разделяют на шесть различных типов (от I до VI) в зависимости от Cas белков, входящих в состав систем. В 2013 году впервые было предложено использовать систему CRISPR-Cas9, относящуюся к типу II, для редактирования геномной ДНК клеток человека (Cong L, et al., Multiplex genome engineering using CRISPR/Cas systems. Science. 2013 Feb 15;339(6121):819-23). Система CRISPR-Cas9 II типа отличается простотой состава и механизма работы: для ее функционирования необходимо формирование эффекторного комплекса, состоящего лишь из одного белка Cas9 и двух коротких РНК: крРНК (crRNA) и трейсерной РНК (tracrRNA). Трейсерная РНК комплементарно спаривается с участком крРНК, происходящим из CRISPR повтора, образуя вторичную структуру, необходимую для связывания направляющих РНК с Cas эффектором. Определение последовательности направляющих РНК является важным шагом в характеризации неизученных ранее Cas-ортологов. Эффекторный белок Cas9 является РНК-зависимой ДНК эндонуклеазой с двумя нуклеазными доменами (HNH и RuvC), вносящими разрывы в комплементарные нити целевой ДНК, таким образом образуя двунитевой разрыв ДНК (Deltcheva E. et al. CRISPR RNA maturation by trans-encoded small RNA and host factor RNase III //Nature. – 2011. – Т. 471. – №. 7340. – С. 602).

На сегодняшний день известно несколько CRISPR-Cas нуклеаз, способных направлено и специфично вносить двунитевые разрывы в ДНК. Технология CRISPR-Cas9 является одной из самых современных и быстроразвивающихся методик внесения разрывов в ДНК различных организмов, начиная от бактериальных штаммов и заканчивая клетками человека, а также *in vitro* (Song M. The CRISPR/Cas9 system: Their delivery, *in vivo* and *ex vivo* applications and clinical development by startups. Biotechnol Prog. 2017 Jul;33(4):1035-1045).

Эффекторному рибонуклеиновому комплексу, состоящему из Cas9 и дуплекса крРНК и тракрРНК, для распознавания и последующего гидролиза ДНК помимо комплементарного соответствия спейсера крРНК и протоспейсера необходимо присутствие PAM (от англ. "PAM" - protospacer adjusted motif) на ДНК мишени (Mojica F. J.

M. et al. 2009). РАМ представляет собой строго определенную последовательность из нескольких нуклеотидов, расположенных в системах типа II вплотную либо в нескольких нуклеотидах от 3'-конца протоспейсера на нетаргетной цепи. При отсутствии РАМ гидролиза связей в ДНК с образованием двунитевого разрыва не происходит. Необходимость присутствия РАМ последовательности на мишени повышает специфичность узнавания, но в то же время накладывает ограничение в выборе целевых участков ДНК, в которые необходимо внести разрыв. Таким образом, наличие нужной РАМ последовательности, фланирующей ДНК-мишень с 3'-конца, является характеристикой, ограничивающей применение CRISPR-Cas систем на любых участках ДНК.

Различные CRISPR-Cas белки используют для своей работы разные, оригинальные РАМ последовательности. Использование CRISPR-Cas белков с новыми разнообразными РАМ последовательностями необходимо для обеспечения возможности изменения любого участка ДНК, как *in vitro*, так и в геноме живых организмов. Изменение эукариотических геномов также требует использования нуклеаз малого размера для обеспечения доставки CRISPR-Cas систем в клетки посредством AAV вирусов.

Несмотря на известность ряда способов разрезания ДНК и изменения последовательности геномной ДНК, на сегодняшний день сохраняется потребность в новых эффективных инструментах для модификации ДНК в различных организмах и в строго определенных местах последовательности ДНК.

Сущность изобретения

Задачей настоящего изобретения является создание новых инструментов для изменения последовательности геномной ДНК одноклеточных или многоклеточных организмов на основе систем CRISPR-Cas9. Существующие в настоящее время системы имеют ограниченное применение из-за специфичной последовательности РАМ, которая должна присутствовать на 3'-конце участка ДНК, подвергающегося модификации. Поиск новых ферментов Cas9 с другими РАМ последовательностями позволит расширить арсенал имеющихся средств для образования двунитевого разрыва в необходимых, строго определенных местах в молекулах ДНК разных организмов. Для решения этой задачи авторами была охарактеризована ранее предсказанная для бактерии *Pasteurella pneumotropica* (*P. pneumotropica*) CRISPR нуклеаза II типа PpCas9, которая может быть применена для внесения направленных изменений в геном как этого, так и других организмов. Существенными признаками, отличающими настоящее изобретение, являются: (а) короткая, отличающаяся от других известных последовательность РАМ; (б) относительно малый размер охарактеризованного белка PpCas9 – 1055 аминокислотных остатков (а.о.).

Указанная задача решается путем применения белка, содержащего аминокислотную последовательность SEQ ID NO: 1, или содержащего аминокислотную последовательность, которая по меньшей мере на 95% идентична аминокислотной

последовательности SEQ ID NO: 1 и имеет отличия по сравнению с SEQ ID NO: 1 только в неконсервативных аминокислотных остатках, для образования двунитевого разрыва в молекуле ДНК, расположенного непосредственно перед нуклеотидной последовательностью 5'-NNNN(A/G)TT-3' в указанной молекуле ДНК. В некоторых вариантах изобретения данное применение характеризуется тем, что образование двунитевого разрыва в молекуле ДНК происходит при температуре от 35 °C до 45 °C. В некоторых вариантах изобретения данное применение характеризуется тем, что образование двунитевого разрыва происходит в геномной ДНК клетки млекопитающего. В некоторых вариантах изобретения данное применение характеризуется тем, что образование двунитевого разрыва в молекуле ДНК приводит к изменению геномной ДНК указанной клетки млекопитающего.

Указанная задача также решается путем создания способа изменения последовательности геномной ДНК в клетке одноклеточного или многоклеточного организма, включающего введение в указанную клетку организма эффективного количества: а) белка, содержащего аминокислотную последовательность SEQ ID NO: 1, или нуклеиновой кислоты, кодирующей белок, содержащий аминокислотную последовательность SEQ ID NO: 1, и б) направляющей РНК, содержащей последовательность, образующую дуплекс с нуклеотидной последовательностью участка геномной ДНК организма, непосредственно примыкающей к нуклеотидной последовательности 5'-NNNN(A/G)TT-3', и взаимодействующей с указанным белком после образования дуплекса, или последовательности ДНК, кодирующей указанную направляющую РНК; при этом взаимодействие указанного белка с направляющей РНК и нуклеотидной последовательностью 5'-NNNN(A/G)TT-3' приводит к образованию двунитевого разрыва в последовательности геномной ДНК, непосредственно примыкающей к последовательности 5'-NNNN(A/G)TT-3'.

В некоторых вариантах изобретения данный способ характеризуется тем, что дополнительно включающий введение экзогенной последовательности ДНК одновременно с направляющей РНК. В некоторых вариантах изобретения данный способ характеризуется тем, что указанная клетка является клеткой млекопитающего.

В качестве направляющей РНК может быть использована смесь из крРНК (crRNA) и трейсерной РНК (tracrRNA), способных образовать комплекс с участком целевой ДНК и белком PpCas9. В предпочтительных вариантах изобретения в качестве направляющей РНК может быть использована гибридная РНК, сконструированная на основе крРНК и трейсерной РНК. Методы конструирования гибридной направляющей РНК известны специалистам (Hsu PD, et al., DNA targeting specificity of RNA-guided Cas9 nucleases. Nat Biotechnol. 2013 Sep;31(9):827-32). Один из вариантов конструирования гибридной РНК раскрыт в Примерах ниже.

Изобретение может быть использовано как для разрезания целевой ДНК *in vitro*, так и для модификации генома какого-либо живого организма. Модификация геномной ДНК может проводиться прямым способом – разрезанием геномной ДНК в соответствующем сайте, а также вставкой экзогенной последовательности ДНК за счет гомологичной репарации.

В качестве экзогенной последовательности ДНК может быть использован любой участок двунитевой или однонитевой ДНК из генома организма, отличного от организма, используемого при введении (или смесь таких участков между собой и с другими фрагментами ДНК), при этом этот участок (или смесь участков) предназначен для интеграции в место двуцепочечного разрыва в целевой ДНК, образованного под действием нуклеазы PpCas9. В некоторых вариантах изобретения в качестве экзогенной последовательности ДНК может быть использован участок двуцепочечной ДНК из геномной ДНК организма, используемого при введении белка PpCas9, но при этом измененный мутациями (заменой нуклеотидов), а также вставками или делециями одного или нескольких нуклеотидов.

Техническим результатом настоящего изобретения является повышение универсальности доступных систем CRISPR-Cas9, позволяющее использовать нуклеазу Cas9 для разрезания геномной или плазмидной ДНК в большем количестве специфических сайтов и специфических условий. Новая нуклеаза может быть использована в клетках бактерий, млекопитающих или других организмов.

Краткое описание фигур

Фиг. 1. Схема устройства локуса CRISPR PpCas9 системы. DR - direct repeat, или прямой повтор - регулярно повторяющийся участок, входящий в состав CRISPR кассеты.

Фиг. 2. РАМ скрининг *in vitro*. Схема эксперимента.

Фиг. 3. Разрезание нуклеазой PpCas9 фрагментов 7N библиотеки при разных температурах проведения реакции.

Фиг. 4. (А) Анализ результатов *in vitro* скрининга нуклеазы PpCas9 с использованием расчета логарифма изменения доли каждого конкретного нуклеотида в каждой позиции РАМ (FC). (Б) РАМ Logo нуклеазы PpCas9. Для каждой позиции обозначены частоты представленности аденина, цитозина, тимины и гуанина. Высота букв соответствует частоте представленности нуклеотида в данной позиции РАМ последовательности.

Фиг. 5. Проверка влияния однонуклеотидных замен в первой позиции РАМ на эффективность разрезания нуклеазой PpCas9 ДНК-мишени.

Фиг. 6. Проверка значимости нуклеотидных позиций в РАМ последовательности PpCas9.

Фиг. 7. Проверка влияния замены А на Г в 5ой позиции РАМ на эффективность разрезания нуклеазой PpCas9 ДНК-мишени.

Фиг. 8. Проверка влияния однонуклеотидных замен в 7ой позиции РАМ на эффективность разрезания нуклеазой PpCas9 ДНК-мишени.

Фиг. 9. Разрезание различных сайтов ДНК с помощью белка PpCas9. Дорожки 1 и 2 – положительный контроль.

Фиг. 10. Проверка распознавания нуклеазой PpCas9 РАМ последовательности CAGCATT. Дорожки 1 и 2 – положительный контроль.

Фиг. 11. Схема инструмента разрезания ДНК PpCas9.

Фиг. 12. Эксперимент по разрезанию ДНК -мишени. Использованы гибридные направляющие РНК разной длины.

Фиг. 13. Выравнивание аминокислотных последовательностей белков PpCas9 и Cas9 из *Staphylococcus aureus* при помощи программы NCBI BLASTp (default parameters).

Фиг. 14. Изменение геномной ДНК клеток человека с использованием PpCas9. (A) – схема эксперимента по определению эффективности изменения геномной ДНК клеток человека с использованием плазмиды, несущей PpCas9. (B) – Результаты анализа внесения вставок и делеций нуклеотидов в последовательность целевых сайтов геномной ДНК клеток человека (сверху – продукты реакции с T7 эндонуклеазой I были нанесены на агарозный гель электрофорез, внизу – примеры вставок и делеций, образуемых PpCas9 в гене EMX1, определенные с помощью высоко производительного секвенирования)

Подробное раскрытие изобретения

В описании данного изобретения термины «включает» и «включающий» интерпретируются как означающие «включает, помимо всего прочего». Указанные термины не предназначены для того, чтобы их истолковывали как «состоит только из». Если не определено отдельно, технические и научные термины в данной заявке имеют стандартные значения, общепринятые в научной и технической литературе.

Используемый здесь термин «процент гомологии двух последовательностей» эквивалентен термину «процент идентичности двух последовательностей». Идентичность последовательностей определяется на основании референсной последовательности. Алгоритмы для анализа последовательности известны в данной области, такие как BLAST, описанный в Altschul et al., J. Mol. Biol., 215, pp. 403-10 (1990). Для целей настоящего изобретения для определения уровня идентичности и сходства между нуклеотидными последовательностями и аминокислотными последовательностями может быть использовано сравнение нуклеотидных и аминокислотных последовательностей, производимое с помощью пакета программ Blast, предоставляемого National Center for Biotechnology Information (<http://www.ncbi.nlm.nih.gov/blast>) с использованием содержащего

разрывы выравнивания со стандартными параметрами. Процент идентичности двух последовательностей определяется числом положений идентичных аминокислот в этих двух последовательностях с учетом числа пробелов и длины каждого пробела, которые необходимо ввести для оптимального сопоставления двух последовательностей путем выравнивания. Процент идентичности равен числу идентичных аминокислот в данных положениях с учетом выравнивания последовательностей, разделенному на общее число положений и умноженному на 100.

Термин "специфически гибридизуется" относится к ассоциации между двумя одноцепочечными молекулами нуклеиновых кислот или в достаточной степени комплементарными последовательностями, что разрешает такую гибридизацию в предопределенных условиях, обычно использующихся в данной области.

Фраза "двунигитевой разрыв, расположенный непосредственно перед нуклеотидной последовательностью РАМ" означает, что двунигитевой разрыв в целевой последовательности ДНК будет произведен на расстоянии от 0 до 25 нуклеотидов перед нуклеотидной последовательностью РАМ.

Под экзогенной последовательностью ДНК, вводимой одновременно с направляющей РНК, следует понимать последовательность ДНК, подготовленную специально для специфической модификации двуцепочечной целевой ДНК в месте разрыва, определяемого специфичностью направляющей РНК. Подобной модификацией может быть, например, вставка или делеция определенных нуклеотидов в месте разрыва целевой ДНК. Экзогенной ДНК может служить как участок ДНК из другого организма, так и участок ДНК из того же организма, что и целевая ДНК.

Под белком, содержащим определенную аминокислотную последовательность следует понимать белок, имеющий аминокислотную последовательность, составленную из указанной аминокислотной последовательности и, возможно, других последовательностей, соединенных пептидными связями с указанной аминокислотной последовательностью. Примером других последовательностей может служить последовательность сигнала ядерной локализации (NLS), или другие последовательности, обеспечивающие повышенную функциональность для указанной аминокислотной последовательности.

Под экзогенной последовательностью ДНК, вводимой одновременно с направляющей РНК, следует понимать последовательность ДНК, подготовленную специально для специфической модификации двуцепочечной целевой ДНК в месте разрыва, определяемого специфичностью направляющей РНК. Подобной модификацией может быть, например, вставка или делеция определенных нуклеотидов в месте разрыва целевой ДНК. Экзогенной ДНК может служить как участок ДНК из другого организма, так и участок ДНК из того же организма, что и целевая ДНК.

Под эффективным количеством вводимых в клетку белка и РНК следует понимать такое количество белка и РНК, которое при попадании в указанную клетку будет способно образовать функциональный комплекс, то есть комплекс, который будет специфически связываться с целевой ДНК и производить в ней двунитевой разрыв в месте, определяемом направляющей РНК и РАМ последовательностью на ДНК. Эффективность этого процесса может быть оценена при помощи анализа целевой ДНК, выделенной из указанной клетки с помощью стандартных методов, известных специалистам.

Доставка белка и РНК в клетку может быть осуществлена различными способами. Например, белок может быть доставлен в виде ДНК-плазмиды, которая кодирует ген этого белка, как мРНК для трансляции этого белка в цитоплазме клетки, или как рибонуклеопротеидный комплекс, включающий этот белок и направляющую РНК. Доставка может быть осуществлена различными методами, известными специалистам.

Нуклеиновая кислота, кодирующая компоненты системы, может быть введена в клетку, непосредственно или опосредованно: за счет трансфекции или трансформации клеток известными специалистам способами, за счет использования рекомбинантного вируса, за счет манипуляций с клеткой, таких как микроинъекция ДНК и т.п.

Доставка рибонуклеинового комплекса, состоящего из нуклеазы и направляющих РНК и экзогенной ДНК (при необходимости) может осуществляться путем трансфекции комплексов в клетку или за счет механического введения комплекса внутрь клетки, например, микроинъекции.

Молекула нуклеиновой кислоты, кодирующая белок, который необходимо ввести в клетку, может быть интегрирована в хромосому или может представлять собой внекромосомно реплицирующуюся ДНК. В некоторых вариантах для обеспечения эффективной экспрессии гена белка с вводимой в клетку ДНК необходимо изменить последовательность этой ДНК в соответствии с типом клетки в целях оптимизации кодонов при экспрессии, обусловленное неравномерностью частот встречаемости синонимичных кодонов в кодирующих областях генома различных организмов. Оптимизация кодонов необходима для увеличения экспрессии в клетках животных, растений, грибов или микроорганизмов.

Для функционирования белка, имеющего последовательность, которая по меньшей мере на 95% идентична аминокислотной последовательности SEQ ID NO: 1, в эукариотической клетке необходимо, чтобы этот белок оказался в ядре этой клетки. Поэтому, в некоторых вариантах изобретения, для образования двунитевых разрывов в целевой ДНК используют белок, имеющий последовательность, которая по меньшей мере на 95% идентична аминокислотной последовательности SEQ ID NO: 1, и который дополнительно модифицирован с одного или с обоих концов добавлением одного или нескольких сигналов ядерной локализации. Например, может быть использован сигнал ядерной локализации из вируса SV40. Для эффективной доставки в ядро сигнал ядерной

локализации может быть отделен от основной последовательности белка спайсерной последовательностью, например, описанной в Shen B, et al. "Generation of gene-modified mice via Cas9/RNA-mediated gene targeting", Cell Res. 2013 May;23(5):720-3. Также, в других вариантах осуществления, может быть использован другой сигнал ядерной локализации, или альтернативный метод доставки указанного белка в ядро клетки.

Настоящее изобретение охватывает применение белка из организма *P. pneumotropica*, гомологичного ранее охарактеризованным белкам Cas9, для внесения двуцепочечных разрывов в молекулы ДНК в строго определенных положениях. Использование CRISPR нуклеаз для внесения направленных изменений в геном имеет ряд преимуществ. Во-первых, специфичность действия системы определяется последовательностью крРНК, что позволяет использовать один тип нуклеазы для всех локусов-мишеней. Во-вторых, методика позволяет доставить в клетку сразу несколько направляющих РНК, комплементарных разным генам-мишеням, что позволяет осуществлять единовременное изменение сразу нескольких генов.

PpCas9 – Cas нуклеаза, найденная в бактериях *Pasteurella pneumotropica* ATCC 35149, являющихся патогенами грызунов, обитающих в легких животных. *Pasteurella pneumotropica* (*P. pneumotropica*) CRISPR Cas9 система (далее CRISPR PpCas9) относится к IIC типу CRISPR Cas систем и состоит из CRISPR кассеты, несущей четыре прямых повтора (direct repeats, DR) последовательностью 5'ATTATAGCACTGCGAAATGAAAAAGGGAGCTACAAC3' разделенных последовательностями уникальных спайсеров. Ни один из спайсеров системы не совпадает по последовательности с известными на сегодня бактериофагами или плазмидами, что не позволяет определить требуемый PpCas9 PAM биоинформатическим анализом. К CRISPR кассете прилегает ген эффекторного Cas9 белка PpCas9, а также гены белков Cas1 и Cas2, участвующих в адаптации, встраивании новых спайсеров. Рядом с Cas генами была обнаружена последовательность, частично комплементарная прямым повторам, складывающаяся в характерную вторичную структуру, - предполагаемая трейсерная РНК (tracrRNA) (Фиг. 1)

Знание характерной архитектуры РНК-Cas белкового комплекса систем IIC типа позволила предсказать направление транскрипции CRISPR кассеты: пре-крРНК транскрибируется в противоположном от Cas генов направлении (Фиг.1)

Таким образом, анализ последовательности локуса PpCas9 позволил предсказать последовательности трейсерной и направляющих РНК (Таблица 1).

Таблица 1. Определенные биоинформационическими методами последовательности направляющих РНК системы CRISPR PpCas9. Жирным шрифтом обозначена последовательность прямого повтора DR.

Название	Последовательность
PpCas9 трРНК	5'GCGAAATGAAAAACGUUGUUACAAUAAGAGAUGAAUUUCUCGCAAAG CTCUGCCUCUUGAAAUUUCGGUUUCAAGAGGCAUCUUUUU-3'
PpCas9 крРНК	5'-xxxxxxxxxxxxxxxxxxxx GUUGUAGCUCCUUUUUCAUUUCGC -3'

Для проверки активности PpCas9 нуклеазы и определения требуемого PpCas9 РАМ мотива, были проведены эксперименты по воссозданию реакции разрезания ДНК *in vitro*. Для определения РАМ последовательности белка PpCas9 использовали *in vitro* разрезание двунитевых РАМ библиотек. Для этого необходимо было получить все компоненты эфекторного комплекса PpCas9: направляющие РНК и нуклеазу в рекомбинантной форме. Определение последовательности направляющих РНК позволило синтезировать *in vitro* молекулы crRNA и tracrRNA. Синтез осуществляли с помощью набора NEB HiScribe T7 RNA synthesis. Двунитевые ДНК библиотеки представляли собой фрагменты размером 374 пар нуклеотидов (п.н.), содержащие последовательность протоспейсера, фланкированную рандомизированными семью нуклеотидами (5'-NNNNNNN-3') с 3' конца: 5'-

cccggttaccacggagagatgggaaatcatcttcgtggcatcgtatggccacccgtcggaagtgcacggatga
cagcaatgccaatgctggggggcttctgagaacagtagctctgcctgacacggccaggacggccaacaccaaccagaactt
gggagaacagcactccgctctgggcttcatctcaactcgtcactccctgcaaacaacaaaagaaagagcatgtttataggatcta
catcacgtaacctgtcttagaagaggctagatactgcaattcaaggaccttatctcatttgagcac**NNNNNNNN**aactccatcta
ccagcctactctttatctctggatt -3'

Для разрезания этой мишени использовали направляющие РНК следующей последовательности:

tracrRNA:

5'GCGAAATGAAAAACGUUGUUACAAUAAGAGAUGAAUUUCUCGCAAAGCTCUGC
UCUUGAAAUUUCGGUUUCAAGAGGCAUCUUUUU

и crRNA:

5' иаисиссиисаииагасас**GUUGUAGCUCCUUUUUCAUUUCGC.**

Жирным шрифтом выделена последовательность crRNA, комплементарная протоспейсеру (целевой ДНК последовательности).

Для получения рекомбинантного белка PpCas9 его ген был клонирован в плазмиду pET21a. В качестве кодирующей ген ДНК, использовалась ДНК, синтезированная в компании Integrated DNA Technologies (IDT). Последовательность была кодон-оптимизирована для исключения редких кодонов, встречающихся в геноме Р.

pneumotropica. Клетки *E.coli* Rosetta были трансформированы полученной плазмидой pET21a-6xHis-PpCas9.

500 мкл ночной культуры разводили в 500 мл среды LB, и растили клетки при температуре 37 °C до достижения оптической плотности 0.6 отн.ед. Синтез целевого белка индуцировали добавлением ИПТГ до концентрации 1 mM, после чего клетки инкубировали при температуре 20 °C в течение 6 часов. Затем проводили центрифугирование клеток на скорости 5000 g в течение 30 минут, полученные осадки клеток замораживали при температуре -20 °C.

Осадки размораживали на льду в течение 30 минут, ресуспензировали в 15 мл лизисного буфера (Tris-HCl 50 mM pH 8, 500 mM NaCl, β-меркаптоэтанол 1 mM, имидазол 10 mM) с добавлением 15 мг лизоцима и снова инкубировали на льду в течение 30 минут. Затем клетки разрушали воздействием ультразвука в течение 30 минут и центрифугировали в течение 40 минут на скорости 16000 g. Полученный супернатант пропускали через фильтр 0,2 мкм и наносили на колонку HisTrap HP 1 mL (GE Healthcare) на скорости 1 мл/мин.

Хроматографию проводили при помощи FPLC хроматографа AKTA (GE Healthcare) на скорости 1 мл/мин. Колонку с нанесенным белком промывали 20 мл лизисного буфера с добавлением 30 mM имидазола, после чего белок смывали лизисным буфером с добавлением 300 mM имидазола.

Затем, фракцию белка, полученную в ходе афинной хроматографии, пропускали через гель-фильтрационную колонку Superdex 200 10/300 GL (24 мл), уравновешенную следующим буфером: Tris-HCl 50 mM pH 8, 500 mM NaCl, 1 mM DTT. При помощи концентратора Amicon (с фильтром на 30 кДа) фракции, соответствующие мономерной форме белка PpCas9, сконцентрировали до 3 мг/мл, после чего очищенный белок хранили при температуре -80 °C в буфере, содержащем 10% глицерин.

In vitro реакцию порезки линейных РАМ библиотек проводили в объёме 20 мкл в следующих условиях. Реакционная смесь состояла из: 1X CutSmart буфера (NEB), 5 mM DTT, 100 нМ РАМ-библиотеки, 2 мкМ трРНК/крРНК, 400 нМ белка PpCas9. В качестве контроля аналогичным образом были приготовлены пробы, не содержащие РНК. Пробы инкубировали при различных температурах и анализировали методом гель-электрофореза в 2% агарозном геле. В случае правильного узнавания и специфического разрезания ДНК белком PpCas9 должны формироваться два фрагмента ДНК длиной порядка 326 и 48 пар оснований (см. Фиг. 2).

Результаты опыта показали, что PpCas9 обладает нуклеазной активностью и разрезает часть фрагментов РАМ библиотеки. Градиент температур (Фиг. 3) показал, что белок активен в диапазоне температур 35 – 45 °C. В дальнейшем в работе в качестве рабочей использовалась температура 42 °C.

Реакцию разрезания библиотеки повторяли в подобраных условиях. Продукты реакции наносили на 1.5% агарозный гель и подвергали электрофорезу. Непорезанные фрагменты ДНК длиной 374 п.н. экстрагировали из геля и подготавливали для высокоэффективного секвенирования с помощью набора NEB NextUltra II. Образцы секвенировали на платформе Illumina и далее проводили анализ последовательностей биоформатическими методами: определяли разницу в представленности нуклеотидов в отдельных позициях РАМ (NNNNNNN) в сравнении с контрольным образцом с использованием подхода, описанного в (Maxwell CS, et al., A detailed cell-free transcription-translation-based assay to decipher CRISPR protospacer-adjacent motifs. Methods. 2018 Jul 1;143:48-57). Кроме того, для анализа результатов построили РАМ лого (Фиг. 4).

Оба подхода к анализу данных (Фиг. 4) указывают на значимость 5, 6 и 7 позиций РАМ. Таким образом, в результате *in vitro* анализа удалось установить предположительную РАМ последовательность для PpCas9: NNNNATT. Однако эта последовательность является лишь предположительной в силу неточности результатов, получаемых скрининговыми подходами к определению РАМ.

В связи с этим для уточнения последовательности была произведена проверка значимости отдельных позиций последовательности РАМ. Для этого проводили реакции *in vitro* разрезания ДНК фрагментов, содержащих ДНК-мишень 5'- atccctttcattgagcac-3', фланкированную РАМ последовательностью CAACATT (или ее производных): 5'- cccgggttaccacggagagaatggtgaaatcatcttcgtggcatccatgtatggccacctcgtaatggcccacgaggatgacagcaatgccaatgctggggggcttctgagaacagagctctgcctgacacacggccaggacggccaacaccaaccagaacttgggagaacagcactccgctctgggcttcatctcaactcgtcactccctgcaaacaacaaaagaaagagcatgtaaaataggatcta catcactgttaacacctgttttagaagaggctagatactgcaattcaaggacccatctccattgtgagcacCAACATTaactccatcta ccaggctactctttatctctggatt- 3'

Все реакции разрезания ДНК проводили в следующих условиях:

1xCutSmart буфер

400 нМ PpCas9

20 нМ ДНК

2 мкМ crRNA

2 мкМ tracrRNA

Время инкубации - 30 минут, температура проведения реакции - 42 °С.

Замена первой позиции РАМ на все четыре возможные варианта нуклеотидов не повлияла на эффективность работы белка (Фиг. 5).

Предсказанная значимость пятой и шестой была подтверждена экспериментально путем однонуклеотидных замен (пурин на пиримидин и наоборот) в каждой из позиций РАМ. При заменах в пятой и шестой позициях белок практически переставал работать. При замене в седьмой позиции эффективность работы PpCas9 снижалась в два раза, что

отражает сниженные требования к нуклеотиду в этой позиции (Фиг. 6). Таким образом, согласно полученным результатам *in vitro* PAM скрининга нуклеазы PpCas9, в пятой позиции PAM наиболее вероятными нуклеотидами являются аденин или гуанин, что удалось подтвердить экспериментально (Фиг. 7). Замена А на G никак не снижала эффективность разрезания фрагмента.

Согласно результатам *in vitro* скрининга фрагменты с “Т” либо с “С” в седьмой позиции должны распознаваться более эффективно. Для окончательной проверки значимости нуклеотидов в этой позиции были проведены дополнительные эксперименты. Результаты проведенных *in vitro* тестов показали, что при замене нуклеотида “Т” в седьмой позиции на А или Г эффективность разрезания снижается на 40-50% (Фиг. 8). Таким образом, седьмая позиция PAM является менее консервативной в сравнении с пятой и шестой: пурины в седьмом положении снижают эффективность узнавания, но не препятствуют белку PpCas9 вносить двунитевые разрывы в ДНК.

В результате проведенных исследований удалось сделать следующий вывод: PAM, распознаваемый нуклеазой PpCas9, соответствует следующей формуле 5'-NNNN(A/G)TT-3'. Седьмая позиция менее консервативна.

Ниже следующие примеры осуществления способа приведены в целях раскрытия характеристик настоящего изобретения и их не следует рассматривать как каким-либо образом ограничивающие объем изобретения.

Пример 1. Тестирование активности белка PpCas9 в разрезании различных ДНК мишней.

Для того, чтобы проверить способность PpCas9 узнавать различные последовательности ДНК, фланкированные 5'-NNNN(A/G)TT-3' последовательностью, были проведены эксперименты по *in vitro* разрезанию ДНК-мишней из последовательности гена grin2b человека (см. Таблицу 2).

Таблица 2. ДНК-мишени гена GRIN2B человека.

последовательность	PAM						
TATCTCCTTCATTGAGCAC	C	A	A	A	C	C	C
CAGCTGAAGTAATGTTAGAG	C	C	A	C	A	T	T
AATAAGAAAAACATTATTAT	C	A	C	C	A	T	T
GGGGCTATAAGTACACAAGC	C	C	T	G	C	A	T
CGTTCTCAGAAGAGCCCCCC	C	A	G	C	A	T	T
CCCACGAGAAAGATGATTC	C	A	C	C	A	T	C

В реакции разрезания в качестве мишени использовался ПЦР фрагмент гена grin2b, несущий сайты узнавания (Таблица 2), предположительно распознаваемыми PpCas9 в соответствии с PAM консенсусом 5'-NNNN(A/G)TT-3'. Для узнавания этих

последовательностей были синтезированы крРНК, направляющие PpCas9 на данные сайты.

Реакции разрезания проводились в подобранных для PpCas9 условиях, результат представлен на Фиг. 9. Из Фиг. 9 видно, что фермент PpCas9 успешно порезал три из четырех мишеней с подходящим РАМ.

Мишень на шестой дорожке имела РАМ последовательность CAGCATT, которая согласно предсказаниям на основании результатов «depletion analysis» должна эффективно распознаваться белком. Однако в данном эксперименте узнавание данного фрагмента не произошло.

Поэтому была произведена дополнительная проверка РАМ CAGCATT на другой мишени-протоспейсере, ограниченной таким же РАМ (Фиг. 10). В этом случае РАМ эффективно распознавался, что приводило к порезке ДНК. Таким образом, белок имеет некие дополнительные предпочтения к последовательности ДНК мишени, возможно связанные со вторичной структурой ДНК.

Таким образом, проведенные исследовательские испытания показали наличие нуклеазной активности у PpCas9, а также позволили определить его РАМ последовательность и верифицировать последовательности направляющих РНК.

PpCas9 рибонуклеопротеиновый комплекс специфически вносит разрывы в мишени, ограниченные РАМ 5'-NNNN(A/G)TT -3' с 5' конца протоспейсера. Схема PpCas9-РНК комплекса представлена на Фиг. 11.

Пример 2. Использование гибридной направляющей РНК для разрезания ДНК мишени.

sgRNA - форма направляющих РНК, которая представляет собой сплитые воедино tracrRNA (трейсерная РНК) и crRNA. Для подбора оптимальной sgRNA были сконструированы три варианта этой последовательности, отличающиеся длиной tracrRNA – crRNA дуплекса. РНК синтезировали *in vitro* и проводили с ними эксперименты по разрезанию ДНК -мишени (Фиг. 12)

В качестве гибридных РНК были использованы следующие РНК последовательности:

1 - sgRNA1 25DR:

**UAUCUCCUUCAUUGAGCACGUUGUAGCUCCCUUUUCAUUUCGCGAAAGCGAAAUGA
AAAACGUUGUUACAAUAAGAGAUGAAUUUCUCGCAAAGCTCTGCCUCUUGAAAUUCGG
UUUCAAGAGGCAUCUUUUU**

2 - sgRNA2 36DR

**UAUCUCCUUCAUUGAGCACGUUGUAGCUCCCUUUUUCAUUUCGCGAGUGCUAAUAG
AAAAUUUAAGCACUGCGAAAUGAAAAACGUUGUUACAAUAAGAGAUGAAUUUCUCGCAA
GCUCUGCCUCUUGAAUUUCGGUUCAAGAGGCAUCUUUUU**

Жирным шрифтом обозначена 20-нуклеотидная последовательность, обеспечивающая спаривание с ДНК -мишенью (вариабельная часть sgRNA). Кроме того,

в эксперименте делали контрольную пробу без РНК, а также положительный контроль - порезка мишени с помощью crRNA+trRNA.

В качестве ДНК мишени использовалась последовательность, содержащая сайт узнавания 5' tatcccttcattgagcac 3' с соответствующим консенсусом PAMCAACATT: 5'- cccgggttaccacggagatgggaaatcatcttcgtggcatcctgtggccacctcgtaactgcccacgaggatga cagaatgccaatgctggggggcttctgagaacgagctgcgtgcacacggccaggacggcaacaccaaccagaacct gggagaacagcactccgctctgggtttcaactcgtcactccctgcaaacaacaaaagaaagagcatgtaaaataggatcta catcactgttaacctgttttagaagaggctgcaattcaaggaccttat**tccttcattgagcac**CAACATTcaactccat ctaccaggcctactcttatcttgatt – 3'

Жирным шрифтом обозначен сайт узнавания, заглавными буквами РАМ.

Реакцию проводили в следующих условиях: концентрация ДНК последовательности, содержащей РАМ (CAACATT) – 20 нМ, концентрация белка – 400 нМ, концентрация РНК – 2 мкМ; время инкубирования – 30 минут, температура инкубирования – 37 °С.

Подобранные sgRNA1 и sgRNA2 оказались так же эффективны, как и нативные последовательности tracrRNA и crRNA: разрезание произошло в более 80% ДНК-мишениях (Фиг. 12).

Эти варианты гибридной РНК могут быть использованы для разрезания любой другой целевой ДНК при изменении последовательности, непосредственно спаривающейся с ДНК-мишенью.

Пример 3. Белки Cas9 из близкородственных организмов, относящихся к *P. pneumotropica*.

На сегодняшний день в *P. pneumotropica* не охарактеризовано ни одного фермента системы CRISPR-Cas9. Сравнимый по размерам белок Cas9 из *Staphylococcus aureus* идентичен PpCas9 на 28 % (Фиг. 13, степень идентичности была рассчитана по программе BLASTp, default parameters). Похожая степень идентичности существует и для других известных белков Cas9 (не показано).

Таким образом, белок PpCas9 существенно отличается по аминокислотной последовательности от других Cas9 белков, изученных на сегодняшний день.

Специалисту в области генетической инженерии очевидно, что полученный и охарактеризованный в данном Описании вариант последовательности белка PpCas9 может быть изменен без изменения функции самого белка (например, направленным мутагенезом аминокислотных остатков, напрямую не влияющих на функциональную активность (Sambrook et al., Molecular Cloning: A Laboratory Manual, (1989), CSH Press, pp. 15.3-15.108)). В частности, специалисту известно, что могут быть изменены неконсервативные аминокислотные остатки, не затрагивающие остатки, определяющие функциональность белка (определяющие его функцию или структуру). Примерами таких

изменений могут служить замены неконсервативных аминокислотных остатков на гомологичные. Некоторые из участков, содержащих неконсервативные аминокислотные остатки, приведены на Фиг. 12. В некоторых вариантах осуществления изобретения возможно использование белка, содержащего аминокислотную последовательность, которая по меньшей мере на 95% идентична аминокислотной последовательности SEQ ID NO: 1 и имеет отличия по сравнению с SEQ ID NO: 1 только в неконсервативных аминокислотных остатках, для образования двунитевого разрыва в молекуле ДНК, расположенного непосредственно перед нуклеотидной последовательностью 5'-NNNN(A/G)TT-3' в указанной молекуле ДНК. Гомологичные белки могут быть получены путем мутагенеза (например, сайт-направленного или ПЦР-опосредуемого мутагенеза) соответствующих молекул нуклеиновых кислот с последующим тестированием кодируемого модифицированного белка Cas9 на сохранение его функций в соответствии с описанными здесь функциональными анализами.

Пример 4. Изменение геномной ДНК клеток человека с помощью PpCas9.

Для изменения геномной ДНК клеток человека ген PpCas9 нуклеазы был клонирован в эукариотический плазмидный вектор под регуляцией CMV промотора. На 5' и 3' концы гена PpCas9 были добавлены последовательности, кодирующие сигналы ядерной локализации, обеспечивающие доставку нуклеазы в ядро клетки. Последовательность sgRNA была клонирована в вектор под регуляцией U6 промотора. Для проверки активности системы использовались sgRNA с последовательностью, комплементарной ДНК мишени длиной 20 и 24 нуклеотида. В качестве положительного контроля использовалась аналогичная плазмида, несущая систему изменения геномной ДНК на основе SpCas9, известная из уровня техники. Для оценки эффективности трансфекции используемые плазмиды также несли ген зеленого флуоресцентного белка GFP. В качестве ДНК мишеней использовались следующие участки геномной ДНК человека (Таблица 3).

Таблица 3. ДНК-мишени генов EMX1 и GRIN2B человека.

нуклеаза	Название сайта	Последовательность мишени	PAM
PpCas9	EMX1.1 sg20	GCCCTTCCTCCTCCAGCTTC	GTT
PpCas9	EMX1.1 sg24	TCAGGCCCTTCCTCCAGCTTC	GTT
PpCas9	EMX1.2 sg20	GGAGGTGACATCGATGTCCT	ATT
PpCas9	EMX1.2 sg24	CATGGGAGGTGACATCGATGTCCT	ATT

PpCas9	GRIN2B1.1 sg20	CAGCTGAAGTAATGTTAGAG	ATT
PpCas9	GRIN2B1.1 sg24	TTAGCAGCTGAAGTAATGTTAGAG	ATT
PpCas9	GRIN2B1.2 sg20	AATAAGAAAAACATTATTAT	ATT
PpCas9	GRIN2B1.2 sg24	ATAAAATAAGAAAAACATTATTAT	ATT
SpCas9	EMX1 sg20	GAGTCCGAGCAGAAGAAGAA	GGG
SpCas9	GRIN2B sg20	ACCTTTATTGCCTTGTCA	AGG

EMX1.1 и EMX1.2 представляли собой два разных сайта модификации в гене EMX1; аналогично, GRIN2B1.1 и GRIN2B1.2 представляли собой два разных сайта модификации в гене GRIN2B.

ДНК мишени были фланкированы с 3' конца PAM последовательностями PpCas9 5'-NNNNRTT -3' или SpCas9 5'- NGG -3'.

Для эффективной работы нуклеазы PpCas9 в эукариотических клетках необходимо обеспечить импорт этого белка внутрь ядра эукариотической клетки. Для этого можно использовать сигнал ядерной локализации из Т-антитела вируса SV40 (Lanford et al., Cell, 1986, 46: 575–582), соединённый с последовательностью PpCas9 с помощью спайсерной последовательности, описанной в Shen B, et al. "Generation of gene-modified mice via Cas9/RNA-mediated gene targeting", Cell Res. 2013 May;23(5):720-3 или без нее.

В данном примере, полная аминокислотная последовательность нуклеазы, транспортируемой внутрь ядра клеток человека, представляла собой следующую последовательность:

MAPKKKRKVGIHGVPAAEQNNPLNYILGLDLGIASIGWAVVEIDEESSPIRLIDVGVRTFE
RAEVAKTGESLALSRRSLARSSRRLIKRRAERLKKAKRLLKAEKILHSIDEKLPINWQLRVKGLK
EKLERQEWAVALLHLSKHRGYLSQRKNEGKSDNKELGALLSGIASNHQMLQSSEYRTPAEIAV
KKFQVEEGHIRNQRGSYTHTFSRLDLLAEMELLFQRQAELGNSYTSTTLENLTALLMWQKPAL
AGDAILKMLGKCTFEPSEYKAAKNSYSAERFVWLTKLNNLRILENGTERALNDNERFALLEQPY
EKSKLTYAQVRAMLALSDNAIFKGVRYLGEDKKTVESKTTLIEMKFYHQIRKTLGSAELKKEWN
ELKGNSDLLDEIGTAFSLYKTDDDICRYLEGKLPERVLNALLENLNFDFIQLSLKALHQILPLML
QGQRYDEAVSAIYGDHYGKKSTETTRLLPTIPADEIRNPVVLRTLQARKVINAVVRLYGSARI
HIETAREVGKSYQDRKKLEKQQEDNRKQRESAVKKFKEMFPHFVGEPKGKDILKMRLYELQQA
KCLYSGKSLELHRLLEKGYVEVDHALPFSRTWDDSFNNKVLVLANENQNKGNLTPYEWLDGK
NNSERWQHFVVRVQTSGFSYAKKQRILNHKLDEKGFIERNLNDTRYVARFLCNFIADNMLLVG
KGKRNVFASNGQITALLRHRWGLQKVREQNDRHHALDAVVACSTVAMQQKITRFVRYNEGN
VFSGERIDRETGEIIPHFSPPW AFFKENVEIRIFSENPKLELENRLPDYPQYNHEWVQPLFVSR
MPTRKMTGQGHMETVKS A KRLNEG S VLKVPLTQLK LSD LER MVNR DREIAL YES LKAR LEQF

GNDPAKAFAEFYKKGGALVKAVRLEQTQKSGVLVRDGNGVADNASMVRDVFTKGGKYFLV
 PIYTWQVAKGILPNRAATQGKDENDWDIMDEMATFQFSLCQNDLIKLVTKKKTIFGYFNGLNRA
 TSNINIKEHLDLDSKGKLGIVLEVGVKLAISLEKYQVDELGKNIRPCRPTKRQHVRFKRPAATKK
 AGQAKKKK

Используемая в данном эксперименте плазмида имела следующую последовательность:

gagggcctattccatgattcctcatattgcatacgtacaaggcttagagagataattgaaattaattgactgtaaa
 cacaagatattgtacaaaatacgtacgtagaaagaataattctggtagttgcagttaaaaattatgtttaaaatggactatca
 tatgcttaccgttaactgaaagtattcgattctggtttatatatcttgtggaaaggacgaaacaccgXXXXXXXXXXXXXX
 XXXXXXXXGTTGTAGCTCCCTTTCATTCGCGAAAGCGAAATGAAAAACGTTGTTACAAT
 AAGAGATGAATTCTCGCAAAGCTCTGCCTCTGAAATTCCGGTTCAAGAGGCATCTTTt
 gctTCTCATGTCCAATATGACCGCCATGTTGACATTGATTATTGACTAGTTATTAAATAGTAATC
 AATTACGGGGTCATTAGTCATAGCCCATAATGGAGTTCCCGTAcataactacggtaatggcc
 cgccctggctgaccgcccacgaccggccatgacgtcaataatgacgtatgtcccatagtaacgccaataggactttccattg
 acgtcaatgggtggagtattacggtaactgcccactggcagtcatacatcaagtgtatcatatgccaagtccgccccattgacgtcaa
 tgacggtaatggccgcccattatgcccagtcatacatgaccattacggactttctactggcagtcatacatctacgtattagtcatcgct
 attaccatggatgcgggtttggcagtcatacatgccaatggcgtggatagcggttgactcacgggattccaagtccacccattgac
 gtcaatgggagttgtttggcaccataacgggactttccaaatgtctaataacccgccccgtgacgcaatggcggtag
 gcgtgtacgggtggaggctataaagcAGAGCTCGTTAGTGAACCGTCAGAATTAAATT CAGATCGATC
 TACCaccgccaccATGATGGCCCCAAAGAAGAAGCGGAAGGTCGGTATCCACGGAGTCCCAG
 CAGCCGAACAGAATAATCCGCTTAACACTACATTCTGGCTGGATTGGAAATTGCGAGTA
 TAGGCTGGCGGTGGTGAGATCGATGAAGAGAGTAGTCCGATACGCCATTACGACGTT
 GGAGTTAGGACGTTCGAGAGGGCGGAGGTGCGCCAAGACCGGTGAGAGCTGGCCCTCA
 GCCGGCGGCTCGCTCGATCTAGTCGAGGCTTATAAAGAGGGCTGAGCGCCTTAA
 GAAAGCTAACAGAGGCTCTAACGGCAGAAAAAAATTCTGCATAGTATCGACGAAAAGCTGC
 CGATAAAATGTTGGCAGCTCCGAGTAAAGGGCTGAAGGAAAAATTGGAAAGGCAGGA
 GTGGGCGGCGGTACTGCTCATCTCCAAGCACCAGGGCTATCTGTCTCAGCGAAAAAA
 ACGAAGGTAAGTCAGACAAACAAGGAGCTGGCGCACTTTGTCGGGATAGCGTCAAAT
 CATCAGATGCTCCAATCAAGTGAGTATCGGACCCCTGCGGAGATGCCGTTAAAAGTT
 TCAAGTTGAGGAGGGCACATCAGAAATCAGAGGGGCTTACACCCATACGTTCTCTA
 GACTCGACCTCCTCGGAAATGGAACCTCTGTTCAAGCGCCAGGCGGAGCTGGTAAC
 TCCTACACGTCCACTACCCTCCTGGAAAACCTGACAGCCCTGCTGATGTGGCAGAACGCC
 CGCTTGGCGGGGATGCCATCCTGAAGATGCTGGTAAATGCACCTTGAGCCGTCAG
 AATATAAAAGCCGCCAAGAATAGTTACTCTGCGGAGCGATTGTTGGTTGACAAAGTTGA
 ATAACCTGCGATCCTGGAGAACGGTACCGAGCGCGACTCAATGATAATGAGCGCTTC
 GCCCTCCTGGAACAGCCCTACGAGAAGTCCAAGCTCACCTACGCCAAGTCAGAGCCAT
 GCTGGCTCTAGTGACAACGCGATTAAAGGGCGTGCAGACTTGGCGAGGATAAGA

AAACCGTAGAGTCAAAACGACTCTGATCGAGATGAAATTCTATCACCAAATTAGAAAG
 ACCCTCGGTTCTGCCGAGCTGAAAAAGGAATGGAACGAACCTAACGGTAACAGCGACCT
 GCTCGATGAAATCGGTACCGCATTAGCCTTATAAAACGGACGACGACATCTGCCGATA
 TTTGGAGGGGAAGCTCCCAGAGCGAGTATTGAATGCACTCCTGAGAACCTTAATTTGA
 CAAGTTCATTCTAGCTGTCCCTCAAAGCACTGCATCAAATCCTCCACTTATGCTGCAAGG
 ACAACGATACGACGAAGCCGTAGCGCGATATGGAGATCATTACGGAAAAAAGTCCA
 CCGAGACCACACGACTGCTCCTACGATCCCCGCCATGAGATCAGAAATCCGTAGTC
 CTTCGAACACTTACTCAGGCTAGGAAGGTGATTAATGCGGTAGTTAGGTTATGGATCT
 CCGGCACGGATACATATAGAAACAGCTCGCGAAGTGGTAAATCTTACCAAGACCGCAA
 GAAATTGGAGAAACAACAGGAGGATAACCGAAAGCAACGAGAACATGCCGTTAAAAG
 TTTAAGGAAATGTTCTCACTTGTAGGAGAACCGAAGGGTAAAGATATCTGAAAATG
 CGGTTGTACGAGTTGCAGCAAGCTAAGTGTCTTATAGCGGCAAGAGTTGGAATTGCA
 CCGCCTCCTGGAGAAAGGCTACGTGGAAGTAGACCATGCGCTCCGTTTCCGAAACCT
 GGGATGATTCTTCATAAAACAAAGCTTGTGCTGGCAAATGAGAACCAAGAACAAAGGA
 AATCTGACTCCTTATGAGTGGTGGATGGCAAGAATAATTCTGAGCGGTGGCAACATTG
 GTTGTCCCGTCCAAACGTCAGGGTCAGCTATGCTAAGAAACAAAGGATCCTCAATCA
 CAAGCTCGACGAGAAAGGATTCATAGAACGAAATTGAATGACACTAGGTATGTGGCTC
 GATTCTCTGCAATTATTGCTGACAATATGCTCCTCGTGGAAAGGGAAAGCGGAATG
 TTTTGATCAAATGGCAGATAACGGCGCTTTGAGACATAGATGGGGCTGCAAAAG
 GTGAGAGAGCAAAATGATAGACATCACGCCCTGGATGCCGTTAGTGCCTGTTCAAC
 GGTTGCGATGCAGCAAAAGATCACTGGTCGTTAGGTATAACGAAGGGAACGTTTTA
 GTGGAGAGCGCATAGATCGGAAACAGGCAGGAAATCATCCCTTGCATTCCCAAGTCCT
 TGGGCTTTTCAAAGAGAATGTGAAATAAGGATATTCACTGAGAACCTAAGTGGAG
 CTTGAGAATCGGTTGCCGATTATCCCCAGTACAATCATGAGTGGTTCAACCGCTGTT
 GTATCCCGCATGCCAACCGAAAGATGACCGGGCAGGGTCACATGGAGACTGTGAAAT
 CTGCAAAGAGACTTAATGAGGGCCTGTCAGTGTGAAGGTGCCCTGACTCAACTGAAA
 TTGAGCGACCTCGAGCGCATGGTAAACCGCGATAGAGAAATGCACCTTATGAGAGTCT
 GAAGGCGCGATTGGAACAATTGGTAATGATCCGGCAAAGGCTTCGCTGAGCCATTCT
 ACAAGAAGGGTGGAGCGCTGGTTAAGGCTGTCCGACTCGAACAGACACAAAAGTCAGG
 GGTCTTGGTCAGAGATGGTAACGGGTTGCCGACAACGCCCTCATGGTACGAGTAGATG
 TTTCACGAAAGGAGGAAAATCTTCTGGTACCTATCTACCTGGCAAGTTGCCAAGG
 GAATACTCCGAATAGGGCGCGACCCAGGGAAAGGATGAAAACGACTGGGATATAAT
 GGATGAAATGGCTACGTTTAGCTGTGCCAGAATGACCTCATAAAACTGGTAAC
 CAAAAAAAGACTATATTGGGTATTCATGGCTTAATGGCCTTAATCGGGCAACTCCAATATCAA
 CATCAAGGAACATGATCTGGATAAGAGCAAGGGAAAGCTGGTATCTATCGAAGTTG
 GAGTCAAGCTCGCTATTCCCTCGAGAAATATCAAGTAGATGAACTGGGAAAGAACATAC
 GGCCATGCCGGCCCACAAAAAGACAACACGTACGGTTAAAAGGCCGGCCACGAA
 AAAGGCCGGCCAGGCAAAAAGAAAAAGGGATCCTACCCATACGATGTTCCAGATTACGC

TTATCCCTACGACGTGCCTGATTATGCATAACCATATGATGTCCCCGACTATGCCGGCGCA
 ACAAACTTCTCTGCTGAAACAAGCCGGAGATGTCGAAGAGAATCCTGGACCGtgagcaag
 ggcgaggagctgtcaccgggggtggccatcctggtcgagctggacggcgacgtaaacggccacaagttcagcgtgtccggcg
 agggcgagggcgatgccacacctacggcaagctgaccctgaagttcatctgcaccaccggcaagctgcccgtgccctggccaccct
 cgtgaccaccctgacctacggcgtgcagtgcctcagccgtaccccgaccacatgaagcagcactctcaagtccgcccattgc
 cgaaggctacgtccaggagcgcaccatcttcaaggacggcaactacaagacccgcgcccggtagttaagttcgagggcg
 caccctggtaaccgcacgactgaagggcatcgactcaaggaggacggcaacatccctggggcacaagctggagtacaacta
 caacagccacaacgtcttatcatggccgacaaggcagaactcaaggtaacttcaagatccgcccacaacatcgagga
 cggcagcgtgcagctcggccgaccactaccaggcagaacaccccatcggcgcacggcccgtagtgcgtccgcacaaccactac
 gagcaccctggccctgagcaaagaccccaacgagaagcgcgatcacatggcctgctggagttcgtgaccgcgcggat
 cactctcgccatggacgactgtacaagTAА

В последовательности плазмида выделены следующие части: U6 промотер (первый участок, прописные буквы), последовательность, комплементарная протоспейсеру ("XXX-XXX"), консервативная часть sgRNA (третий участок, заглавные буквы), ген PpCas9 (выделен жирным шрифтом), ген GFP (последний участок, прописные буквы).

Плазмиды с PpCas9 или SpCas9 были трансфицированы в культуру клеток человека HEK293T с помощью реагента липофектамина 2000. По истечении 72 часов после трансфекции, клетки лизировали и с полученных лизатов проводилась ПЦР для наработки участков, включающих целевые сайты изменения геномной ДНК. Полученные ПЦР фрагменты подвергали *in vitro* реакции с T7 эндонуклеазой I для определения частоты внесения вставок и делеций в целевых сайтах геномной ДНК. Продукты реакции наносили на агарозный гель и подвергали электрофорезу. На Фиг. 14А показано, что PpCas9 активно вносит изменения в генах EMX1 и GRIN2b, с эффективностью, схожей с эффективностью работы описанной в уровне техники SpCas9 нуклеазы.

Данный эксперимент показал, что для эффективного изменения геномной ДНК PpCas9 требует удлиненные sgRNA по сравнению с SpCas9: в приведенном примере эффективность генетических модификаций выше при использовании sgRNA с последовательностью комплементарной ДНК мишени длиной 24 нуклеотида (по сравнению с длиной в 20 нуклеотидов).

Высокопроизводительное секвенирование подтвердило внесение изменений в целевых сайтах ДНК. На Фиг. 14Б приведены примеры обнаруживаемых изменений в нуклеотидной последовательности гена EMX1.

Для доставки NLS_PpCas9_NLS в клетки человека также может быть использована доставка в виде рибонуклеинового комплекса. Она осуществляется путем инкубации рекомбинантной формы PpCas9 NLS с направляющими РНК в CutSmart буфере (NEB). Рекомбинантный белок получают из бактериальных клеток-продуцентов, очищая его с

помощью аффинной хроматографии (NiNTA, Qiagen) разделением по размеру (Superdex 200).

Белок смешивают с РНК в соотношении 1:2 (PpCas9 NLS : sgRNA), инкубируют в течение 10 минут на комнатной температуре, затем смесь трансфицируют в клетки.

Далее проводится анализ экстрагированной из них ДНК на предмет вставок-делеций в целевом ДНК сайте (как описано выше).

Охарактеризованная в настоящем изобретении нуклеаза PpCas9 из бактерии *Pasteurella pneumotropica* может быть доставлена для модификации ДНК в клетки различного происхождения с помощью стандартных подходов и методов, известных специалистам. PpCas9 имеет ряд преимуществ относительно ранее охарактеризованных Cas9 белков.

PpCas9 обладает коротким, двухбуквенным, отличным от других известных Cas нуклеаз РАМ мотивом, необходимым для функционирования системы. В изобретении было показано, что для успешного функционирования PpCas9 *in vivo* достаточно присутствия короткого РАМ мотива (RTT), расположенного в 4 нуклеотидах от протоспейсера.

Известные на сегодняшний день многие малоразмерные Cas нуклеазы, способные вносить двунитевые разрывы в ДНК, имеют сложные многобуквенные РАМ последовательности, ограничивающие выбор последовательностей, пригодных для разрезания. Среди изученных Cas нуклеаз, распознающих короткие РАМ, только PpCas9 может распознавать последовательности, фланкированные RTT мотивом.

Второе преимущество PpCas9 – малый размер белка (1055 а.о.). На сегодняшний день это единственный изученный малоразмерный белок, обладающий трехбуквенной RTT РАМ последовательностью.

PpCas9 – новая малоразмерная Cas нуклеаза, имеющая короткий, простой в использовании РАМ, отличающийся от известных на сегодняшний день РАМ последовательностей других нуклеаз. Белок PpCas9 разрезает с высокой эффективностью различные ДНК-мишени, в том числе геномную ДНК в клетках человека при 37 °C, и может стать основой нового инструмента геномного редактирования.

Несмотря на то, что изобретение описано со ссылкой на раскрываемые варианты воплощения, для специалистов в данной области должно быть очевидно, что конкретные подробно описанные случаи приведены лишь в целях иллюстрации настоящего изобретения, и их не следует рассматривать как каким-либо образом ограничивающие объем изобретения. Должно быть, понятно, что возможно осуществление различных модификаций без отступления от сути настоящего изобретения.

ПЕРЕЧЕНЬ ПОСЛЕДОВАТЕЛЬНОСТЕЙ

<110> Автономная некоммерческая образовательная организация высшего образования Сколковский институт науки и технологий /Skolkovo Institute of Science and Technology

<120> ПРИМЕНЕНИЕ CAS9 БЕЛКА ИЗ БАКТЕРИИ PASTEURELLA PNEUMOTROPICA ДЛЯ МОДИФИКАЦИИ ГЕНОМНОЙ ДНК В КЛЕТКАХ

<130> 424316

<150> RU 2019136164

<151> 2019-11-11

<160> 2

<210> 1

<211> 1055

<212> PRT

<213> Pasteurella pneumotropica

<220>

<223> белок, гомологичный Cas9

<400> 1

Met Gln Asn Asn Pro Leu Asn Tyr Ile Leu Gly Leu Asp Leu Gly Ile
1 5 10 15

Ala Ser Ile Gly Trp Ala Val Val Glu Ile Asp Glu Glu Ser Ser Pro
20 25 30

Ile Arg Leu Ile Asp Val Gly Val Arg Thr Phe Glu Arg Ala Glu Val
35 40 45

Ala Lys Thr Gly Glu Ser Leu Ala Leu Ser Arg Arg Leu Ala Arg Ser
50 55 60

Ser Arg Arg Leu Ile Lys Arg Arg Ala Glu Arg Leu Lys Lys Ala Lys
65 70 75 80

Arg Leu Leu Lys Ala Glu Lys Ile Leu His Ser Ile Asp Glu Lys Leu
85 90 95

Pro Ile Asn Val Trp Gln Leu Arg Val Lys Gly Leu Lys Glu Lys Leu
100 105 110

Glu Arg Gln Glu Trp Ala Ala Val Leu Leu His Leu Ser Lys His Arg
115 120 125

Gly Tyr Leu Ser Gln Arg Lys Asn Glu Gly Lys Ser Asp Asn Lys Glu
130 135 140

Leu Gly Ala Leu Leu Ser Gly Ile Ala Ser Asn His Gln Met Leu Gln
145 150 155 160

Ser Ser Glu Tyr Arg Thr Pro Ala Glu Ile Ala Val Lys Lys Phe Gln
165 170 175

Val Glu Glu Gly His Ile Arg Asn Gln Arg Gly Ser Tyr Thr His Thr
180 185 190

Phe Ser Arg Leu Asp Leu Leu Ala Glu Met Glu Leu Leu Phe Gln Arg
195 200 205

Gln Ala Glu Leu Gly Asn Ser Tyr Thr Ser Thr Thr Leu Leu Glu Asn
210 215 220

Leu Thr Ala Leu Leu Met Trp Gln Lys Pro Ala Leu Ala Gly Asp Ala
225 230 235 240

Ile Leu Lys Met Leu Gly Lys Cys Thr Phe Glu Pro Ser Glu Tyr Lys
245 250 255

Ala Ala Lys Asn Ser Tyr Ser Ala Glu Arg Phe Val Trp Leu Thr Lys
260 265 270

Leu Asn Asn Leu Arg Ile Leu Glu Asn Gly Thr Glu Arg Ala Leu Asn
275 280 285

Asp Asn Glu Arg Phe Ala Leu Leu Glu Gln Pro Tyr Glu Lys Ser Lys
 290 295 300
 Leu Thr Tyr Ala Gln Val Arg Ala Met Leu Ala Leu Ser Asp Asn Ala
 305 310 315 320
 Ile Phe Lys Gly Val Arg Tyr Leu Gly Glu Asp Lys Lys Thr Val Glu
 325 330 335
 Ser Lys Thr Thr Leu Ile Glu Met Lys Phe Tyr His Gln Ile Arg Lys
 340 345 350
 Thr Leu Gly Ser Ala Glu Leu Lys Lys Glu Trp Asn Glu Leu Lys Gly
 355 360 365
 Asn Ser Asp Leu Leu Asp Glu Ile Gly Thr Ala Phe Ser Leu Tyr Lys
 370 375 380
 Thr Asp Asp Asp Ile Cys Arg Tyr Leu Glu Gly Lys Leu Pro Glu Arg
 385 390 395 400
 Val Leu Asn Ala Leu Leu Glu Asn Leu Asn Phe Asp Lys Phe Ile Gln
 405 410 415
 Leu Ser Leu Lys Ala Leu His Gln Ile Leu Pro Leu Met Leu Gln Gly
 420 425 430
 Gln Arg Tyr Asp Glu Ala Val Ser Ala Ile Tyr Gly Asp His Tyr Gly
 435 440 445
 Lys Lys Ser Thr Glu Thr Thr Arg Leu Leu Pro Thr Ile Pro Ala Asp
 450 455 460
 Glu Ile Arg Asn Pro Val Val Leu Arg Thr Leu Thr Gln Ala Arg Lys
 465 470 475 480
 Val Ile Asn Ala Val Val Arg Leu Tyr Gly Ser Pro Ala Arg Ile His
 485 490 495
 Ile Glu Thr Ala Arg Glu Val Gly Lys Ser Tyr Gln Asp Arg Lys Lys
 500 505 510
 Leu Glu Lys Gln Gln Glu Asp Asn Arg Lys Gln Arg Glu Ser Ala Val
 515 520 525
 Lys Lys Phe Lys Glu Met Phe Pro His Phe Val Gly Glu Pro Lys Gly
 530 535 540
 Lys Asp Ile Leu Lys Met Arg Leu Tyr Glu Leu Gln Gln Ala Lys Cys
 545 550 555 560
 Leu Tyr Ser Gly Lys Ser Leu Glu Leu His Arg Leu Leu Glu Lys Gly
 565 570 575
 Tyr Val Glu Val Asp His Ala Leu Pro Phe Ser Arg Thr Trp Asp Asp
 580 585 590
 Ser Phe Asn Asn Lys Val Leu Val Leu Ala Asn Glu Asn Gln Asn Lys
 595 600 605
 Gly Asn Leu Thr Pro Tyr Glu Trp Leu Asp Gly Lys Asn Asn Ser Glu
 610 615 620
 Arg Trp Gln His Phe Val Val Arg Val Gln Thr Ser Gly Phe Ser Tyr
 625 630 635 640
 Ala Lys Lys Gln Arg Ile Leu Asn His Lys Leu Asp Glu Lys Gly Phe
 645 650 655
 Ile Glu Arg Asn Leu Asn Asp Thr Arg Tyr Val Ala Arg Phe Leu Cys
 660 665 670
 Asn Phe Ile Ala Asp Asn Met Leu Leu Val Gly Lys Gly Lys Arg Asn
 675 680 685
 Val Phe Ala Ser Asn Gly Gln Ile Thr Ala Leu Leu Arg His Arg Trp
 690 695 700
 Gly Leu Gln Lys Val Arg Glu Gln Asn Asp Arg His His Ala Leu Asp
 705 710 715 720
 Ala Val Val Val Ala Cys Ser Thr Val Ala Met Gln Gln Lys Ile Thr
 725 730 735
 Arg Phe Val Arg Tyr Asn Glu Gly Asn Val Phe Ser Gly Glu Arg Ile
 740 745 750
 Asp Arg Glu Thr Gly Glu Ile Ile Pro Leu His Phe Pro Ser Pro Trp
 755 760 765

Ala Phe Phe Lys Glu Asn Val Glu Ile Arg Ile Phe Ser Glu Asn Pro
 770 775 780
 Lys Leu Glu Leu Glu Asn Arg Leu Pro Asp Tyr Pro Gln Tyr Asn His
 785 790 795 800
 Glu Trp Val Gln Pro Leu Phe Val Ser Arg Met Pro Thr Arg Lys Met
 805 810 815
 Thr Gly Gln Gly His Met Glu Thr Val Lys Ser Ala Lys Arg Leu Asn
 820 825 830
 Glu Gly Leu Ser Val Leu Lys Val Pro Leu Thr Gln Leu Lys Leu Ser
 835 840 845
 Asp Leu Glu Arg Met Val Asn Arg Asp Arg Glu Ile Ala Leu Tyr Glu
 850 855 860
 Ser Leu Lys Ala Arg Leu Glu Gln Phe Gly Asn Asp Pro Ala Lys Ala
 865 870 875 880
 Phe Ala Glu Pro Phe Tyr Lys Lys Gly Ala Leu Val Lys Ala Val
 885 890 895
 Arg Leu Glu Gln Thr Gln Lys Ser Gly Val Leu Val Arg Asp Gly Asn
 900 905 910
 Gly Val Ala Asp Asn Ala Ser Met Val Arg Val Asp Val Phe Thr Lys
 915 920 925
 Gly Gly Lys Tyr Phe Leu Val Pro Ile Tyr Thr Trp Gln Val Ala Lys
 930 935 940
 Gly Ile Leu Pro Asn Arg Ala Ala Thr Gln Gly Lys Asp Glu Asn Asp
 945 950 955 960
 Trp Asp Ile Met Asp Glu Met Ala Thr Phe Gln Phe Ser Leu Cys Gln
 965 970 975
 Asn Asp Leu Ile Lys Leu Val Thr Lys Lys Thr Ile Phe Gly Tyr
 980 985 990
 Phe Asn Gly Leu Asn Arg Ala Thr Ser Asn Ile Asn Ile Lys Glu His
 995 1000 1005
 Asp Leu Asp Lys Ser Lys Gly Lys Leu Gly Ile Tyr Leu Glu Val Gly
 1010 1015 1020
 Val Lys Leu Ala Ile Ser Leu Glu Lys Tyr Gln Val Asp Glu Leu Gly
 1025 1030 1035 1040
 Lys Asn Ile Arg Pro Cys Arg Pro Thr Lys Arg Gln His Val Arg
 1045 1050 1055

<210> 2
 <211> 3168
 <212> DNA
 <213> Pasteurella pneumotropica

<220>
 <223> белок, гомологичный Cas9
 <400> 2
 atgcaaaata atccattaaa ttacattta gggttagatt taggcattgc ttctattggt 60
 tggcggttg tggaaattga tgaggagagt tcacctattc gcttaattga tgtggcgtc 120
 cgtacatttg aacgggctga agtcgctaaa accggcgaaa gtttagcatt gtctcgctgt 180
 ttagctcggtt catcacggcg attaattaaa cgccgagcag agcgattaaa aaaagcaaaa 240
 cgtttattaa aagcagaaaa gatttacat tctattgatg aaaaattacc cattaatgtt 300

tggcagcttc gagtaaaaagg attgaaggaa aaactcgAAC gtcaggAGTg ggcagcgGTT	360
ttattacatt tgtcaaAGCA tcgtggCTAT ttatcacaAC gtaAAAATGA ggtaAAAGT	420
gataataaAG agctggggcC attacttca ggtatcgCAA gtaaccACCA aatgttgCAA	480
tcctccGAAT atcgtaCCCC tgcAGAAATT gcAGTCAAA AATTCAAGT agaAGAAGGA	540
catattcgTA atcaacgtGG atcttataCC catacTTA gCcgttGGA tttgttggCA	600
gaaatggAA tattatttca acGCCAAGCT gagttAGGCA attcttACAC gtCCACCACa	660
ttattAGAAA atttGACGGC gttACTAATG tggCAAAAGC cAGCTCTGC gggTGATGCG	720
atTTAAAAA tgTTGGCAA gtGTACCTTC gaACCCAGCG aATATAAAGC CGCAAAAAAT	780
agttattCTG ctGAACGTT tGTGTGGTT accAAGCTGA ataatttACG catTTAGAA	840
aatGGCACGG aaAGAGCTT aaATGACAAT gaACGTTTG CTTGCTTGA gCAACCGTAT	900
gagaAAatCAA aAttaACTTA tgCTCAAGTG agAGCAATGC ttGCGTTATC tgATAATGCT	960
atTTCAAAG gggTCGTta ttAGGCGAA gataAAAAAA cAGTAGAGAG caAAACTACG	1020
ttgatAGAAA tgaAGTTTA tCATCAAATC CGCAAAACAT tagGCAGTGC agaATTAAAA	1080
aAGGAATGGA ATGAGTTAA AGGCAATTCC GATTTATTAG ATGAGATTGG CACGGCATT	1140
tcgttgtATA aaACGGATGA tgATATTGC CGTTATTAG AGGGAAAACT ACCAGAAAGG	1200
gtattAAATG CGTTATTGGA AAATTAAAT ttCGATAAAT ttATTCAACT ttCACTTAA	1260
gccttacACC aaATTtTACc ATTGATGCTG CAAGGGCAAC gttatGATGA ggcggTTCT	1320
gcgatttatG gtGATCATTa tggtaaaaaa TCGACAGAAA CAACCCGCTT gttGCCGACT	1380
attcctGCCG ATGAAATCCG AAATCCTGTG gtATTACGCA CCCTGACCCa AGCCCgtAAA	1440
gtGATCAATG CGGTGGTGCg gttatATGgt TCGCCTGCCG gtATTCAATt tgAAACAGCG	1500

agagaagtgc gcaaacttta ccaagatcgt aaaaaacttg aaaaacagca agaagataat	1560
cgtaagcaac gtgaaagtgc ggtcaaaaaa tttaaagaaa tgttccgca ttttgtgggg	1620
gagccgaaag gtaaagatat tttaaaaatg cgattgtatg agttacaaca agcgaaatgt	1680
ttatattctg gaaaatcttt agaacttcat cgtttgcttg agaagggtta tgtagaagtgc	1740
gatcacgctt tgccatttc tcgcacgtgg gatgatagct ttaataataa agtactgggt	1800
cttgccaacg agaacccaaaa taaaggcaat ttaacgcctt atgaatggtt agatggtaaa	1860
aataacagtg agcgttggca acatttgtt gtacgagtac aaaccagcgg tttctcttat	1920
gctaaaaaac aacgcatttt gaaccataaa ttggatgaaa aagggtttat cgaacgtaat	1980
ttaaacgata ctcgctatgt agctcggttc ttatgttaact ttattgccga taatatgttg	2040
ttggttggta aaggcaagcg aaacgtgttt gcttcaaacg ggcaaatcac ggcgttatttgc	2100
cggcatcggtt ggggcttaca aaaagtgcgt gaacagaatg atcgccacca cgcaactggac	2160
gcgggtgtgg tggcttgctc tactgtggca atgcaacaaa aaatcactcg atttgtgaga	2220
tataacgaag gaaatgtctt tagcggtgaa cgtatcgatc gtgaaactgg cgagattatt	2280
ccattacatt ttccaagccc ttgggctttt ttcaaagaga atgtggaaat tcgcattttt	2340
agtgaaaatc caaaatttggaa attagaaaat cgcctgcctg attatccgca atataatcac	2400
gaatgggtgc aaccattgtt tgtttcgaga atgccaaccc gaaaaatgac agggcaaggg	2460
catatggaaa cggtaaaatc cgcaaaacga ttaaatgaag gtttaagtgt gttaaaagtc	2520
cctttaacac aacttaaatt gagtgattta gaacgaatgg ttaatcgtga tcgtgaaatt	2580
gcattgtatg aatccttaaa agcacgttta gagcaatttg gtaacgaccc agccaaagcc	2640
tttgccgaac cattctataa aaagggtggg gcatttagtca aagcagtccg attgaaacaa	2700

acacaat cgggttatt agtacgtat ggttaacggtg ttgcggataa tgcttcaatg	2760
gtacgggttgc atgttttac taaaggtgga aaatatttct tagtgccgat ttataacttgg	2820
caggtagcga aaggatttt accgaatagg gctgcgacac aaggtaaaga tgaaaatgat	2880
tggatatta tggatgaaat ggctactttc caattttctc tatgtcaaaa tgatctaatt	2940
aaattagtta ccaaaaagaa aacaatctt ggatatttttta atggattaaa tagagctact	3000
agcaatataa atattaaaga gcatgatcta gataagtcta aaggaaatt aggtatttac	3060
ttagaagtttgc gtgtaaaact agctatttcc ctggaaaagt accaagtcga cgaactcggc	3120
aaaaatatcc gtccttgtcg tccgactaaa cgacagcacg tgcgttaa	3168

ФОРМУЛА ИЗОБРЕТЕНИЯ

1. Применение белка, содержащего аминокислотную последовательность SEQ ID NO: 1, или содержащего аминокислотную последовательность, которая по меньшей мере на 95% идентична аминокислотной последовательности SEQ ID NO: 1 и имеет отличия по сравнению с SEQ ID NO: 1 только в неконсервативных аминокислотных остатках, для образования двунитевого разрыва в молекуле ДНК, расположенного непосредственно перед нуклеотидной последовательностью 5'-NNNN(A/G)TT-3' в указанной молекуле ДНК.

2. Применение по п. 1, характеризующееся тем, что образование двунитевого разрыва в молекуле ДНК происходит при температуре от 35 °C до 45 °C.

3. Применение белка по п. 1, где белок содержит аминокислотную последовательность SEQ ID NO: 1.

4. Применение по п. 1, характеризующееся тем, что образование двунитевого разрыва в молекуле ДНК происходит в геномной ДНК клетки млекопитающего.

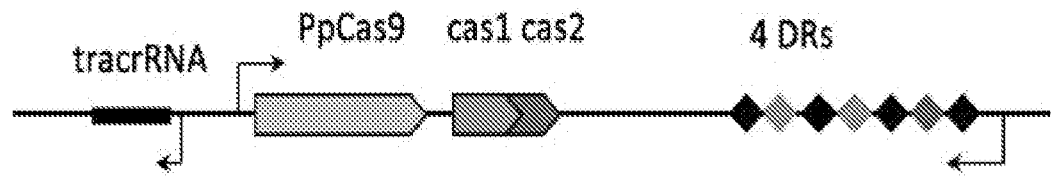
5. Применение по п. 4, характеризующееся тем, что образование двунитевого разрыва в молекуле ДНК приводит к изменению геномной ДНК указанной клетки млекопитающего.

6. Способ изменения последовательности геномной ДНК в клетке одноклеточного или многоклеточного организма, содержащей геномную ДНК, включающий введение в указанную клетку организма эффективного количества: а) белка, содержащего аминокислотную последовательность SEQ ID NO: 1, или нуклеиновой кислоты, кодирующей белок, содержащий аминокислотную последовательность SEQ ID NO: 1, и б) направляющей РНК, содержащей последовательность, образующую дуплекс с нуклеотидной последовательностью участка геномной ДНК организма, непосредственно примыкающей к нуклеотидной последовательности 5'-NNNN(A/G)TT-3', и взаимодействующей с указанным белком после образования дуплекса, или последовательности ДНК, кодирующей указанную направляющую РНК;

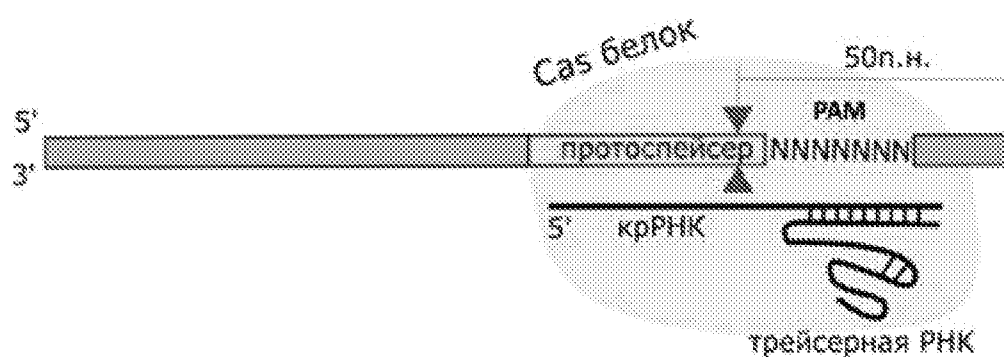
при этом взаимодействие указанного белка с направляющей РНК и нуклеотидной последовательностью 5'-NNNN(A/G)TT-3' приводит к образованию двунитевого разрыва в последовательности геномной ДНК, непосредственно примыкающей к последовательности 5'-NNNN(A/G)TT-3'.

7. Способ по п. 6, дополнительно включающий введение экзогенной последовательности ДНК одновременно с направляющей РНК.

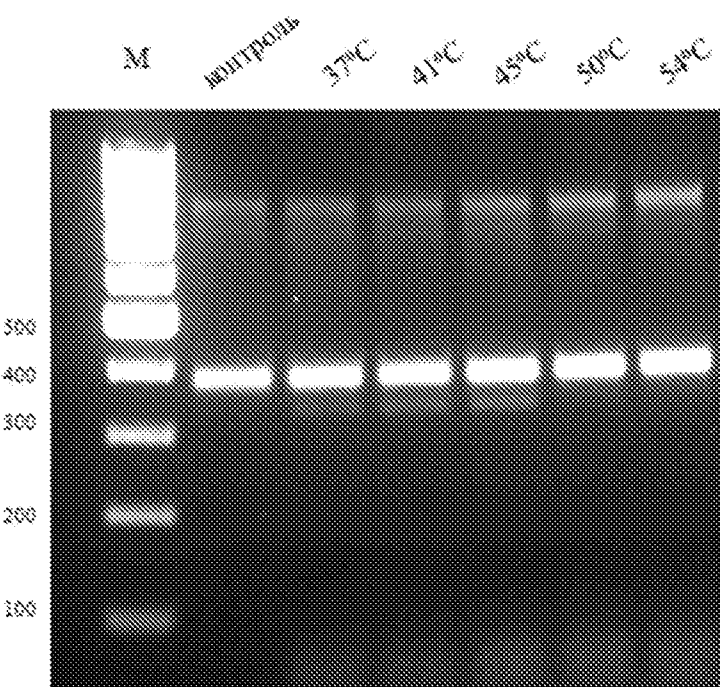
8. Способ по п. 6, характеризующееся тем, что указанная клетка является клеткой млекопитающего.



Фиг. 1

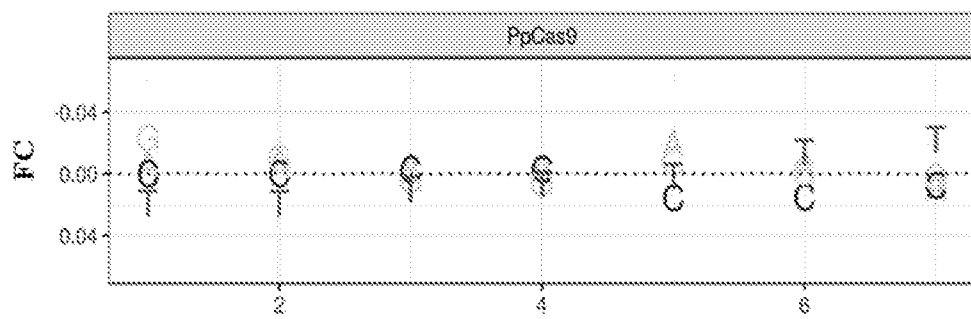


Фиг. 2



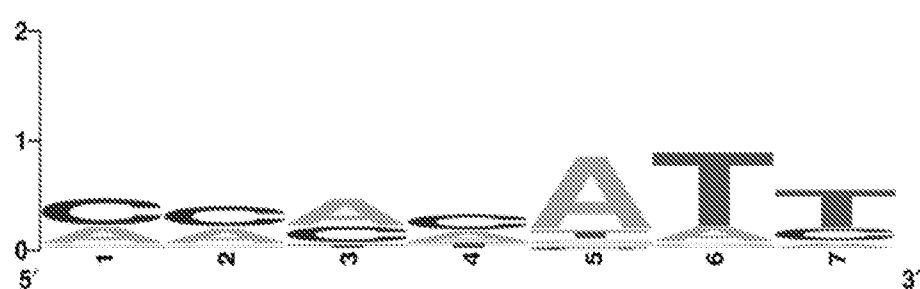
Фиг. 3

A

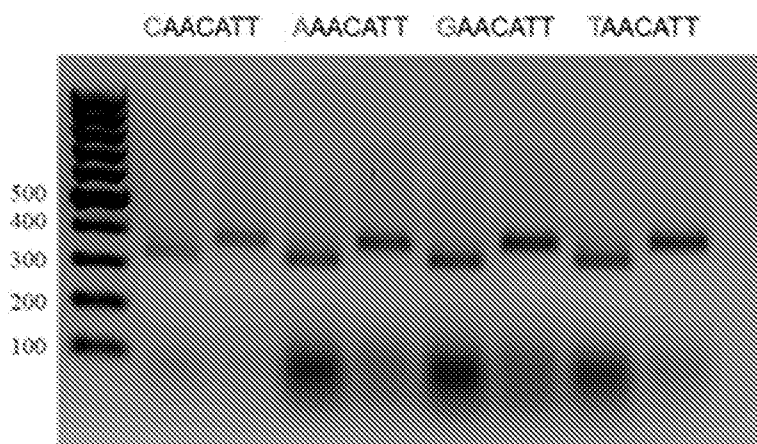


Нуклеотидная позиция РАМ

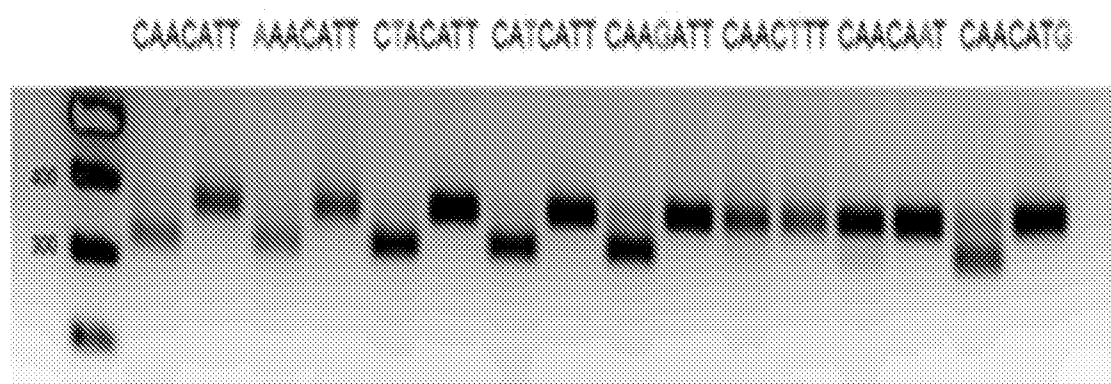
Б



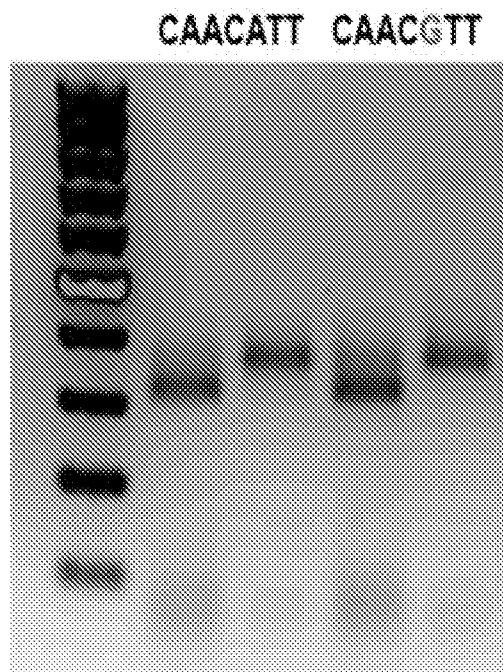
Фиг. 4



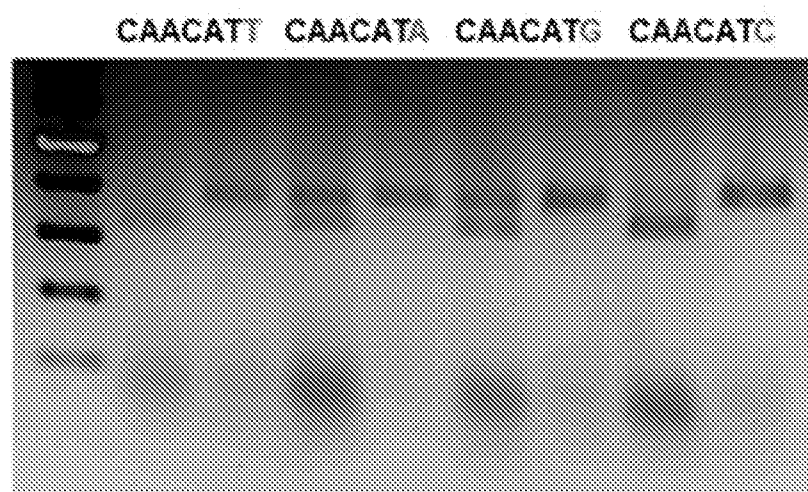
Фиг. 5



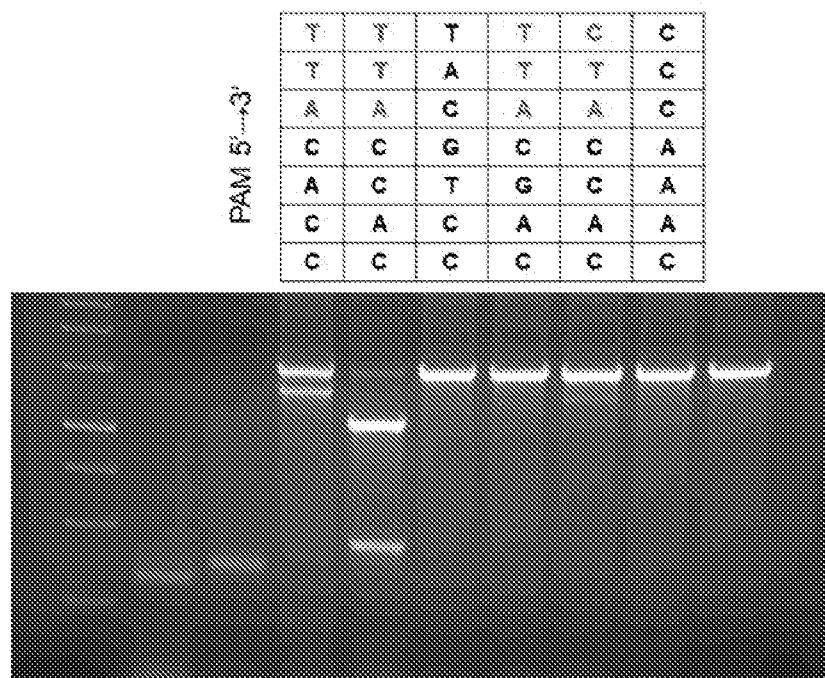
Фиг. 6



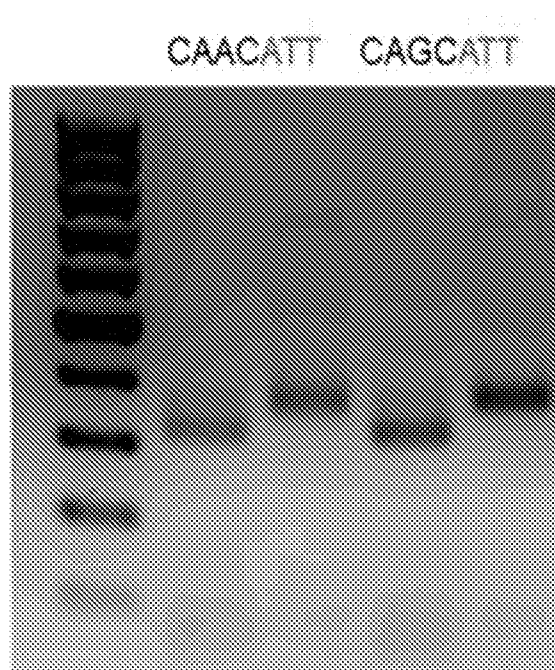
Фиг. 7



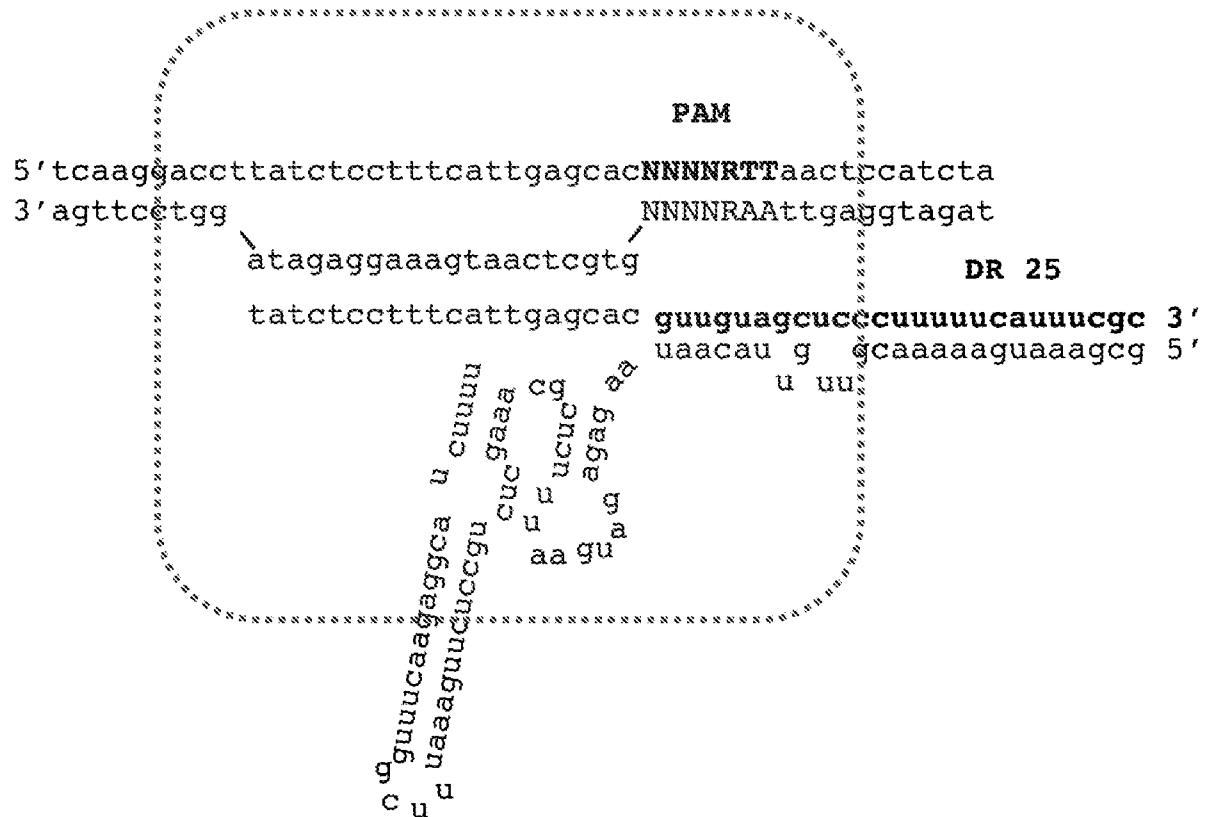
Фиг. 8



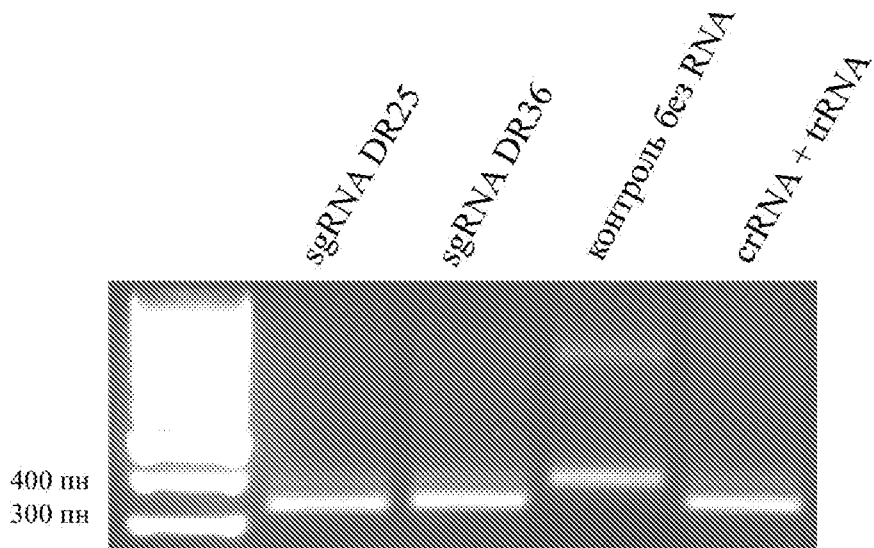
Фиг. 9



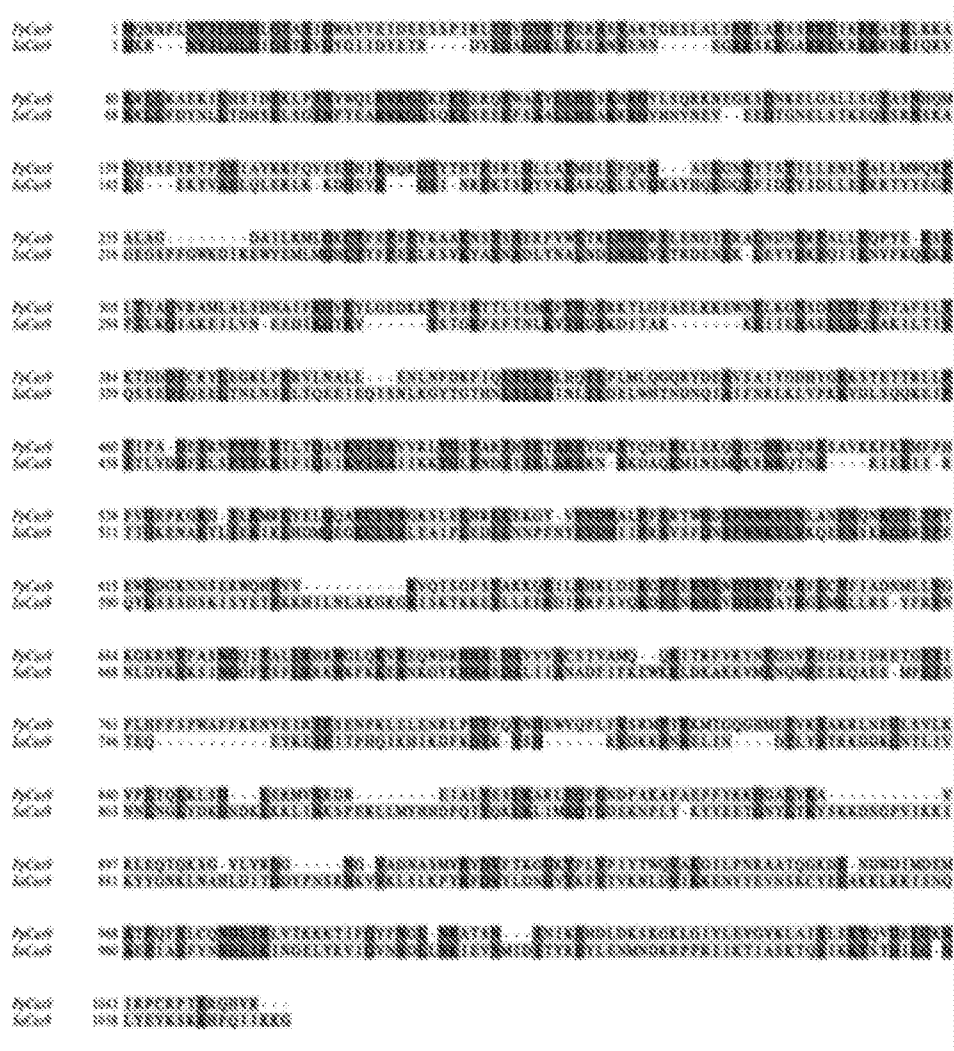
Фиг. 10



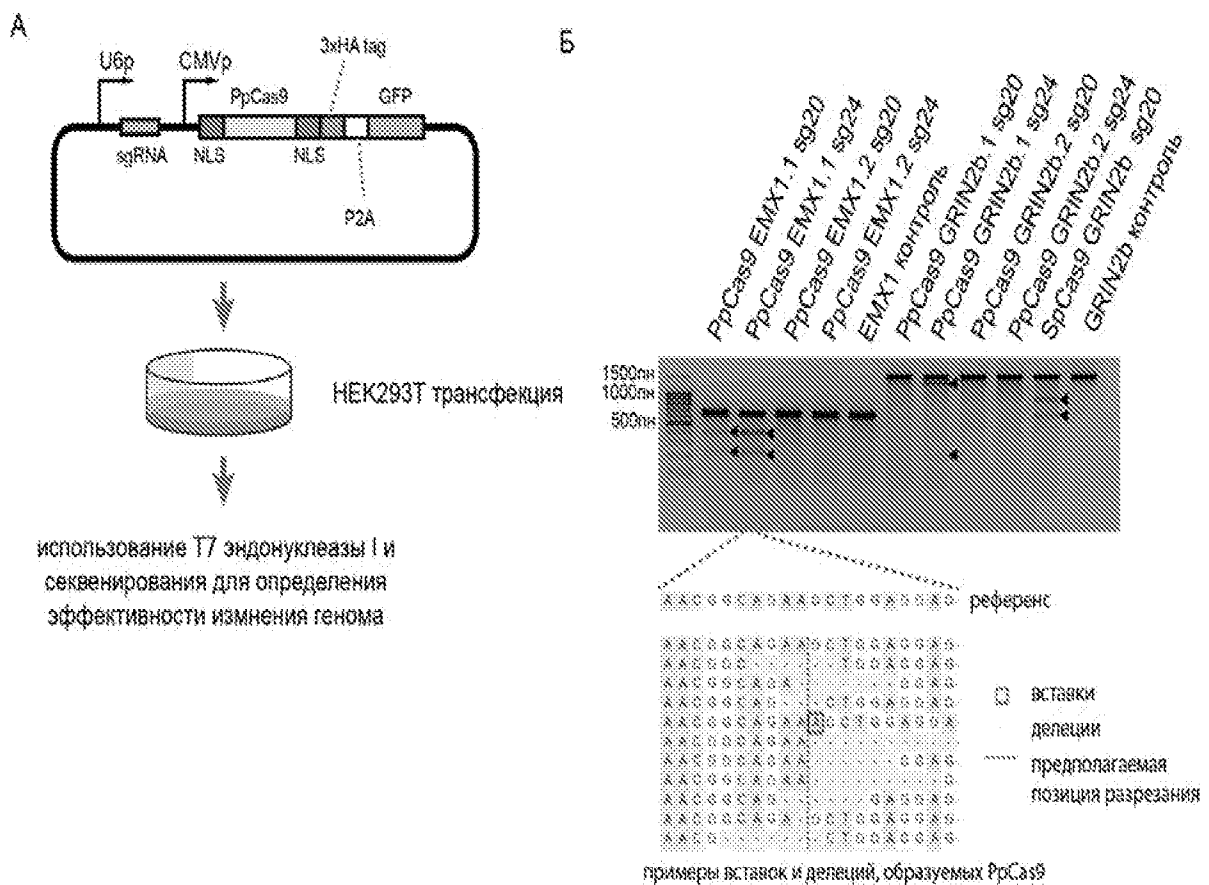
Фиг. 11



Фиг. 12



Фиг. 13



Фиг. 14

INTERNATIONAL SEARCH REPORT

International application No.

PCT/RU 2020/050145

A. CLASSIFICATION OF SUBJECT MATTER

C12N 15/63 (2020.02)

C12N 15/75 (2020.02)

C12N 9/10 (2020.02)

C12Q 1/6806 (2020.02)

According to International Patent Classification (IPC) or to both national classification and IPC

B. FIELDS SEARCHED

Minimum documentation searched (classification system followed by classification symbols)

C12N 15/63, C12N 15/75, C12N 9/10, C12Q 1/6806

Documentation searched other than minimum documentation to the extent that such documents are included in the fields searched

Electronic data base consulted during the international search (name of data base and, where practicable, search terms used)

EAPATIS, ESPACENET, PatSearch (RUPTO internal), USPTO, PATENTSCOPE,
NCBI, EMBL-EBI, ScienceDirect, PubMed, E-Library, Google

C. DOCUMENTS CONSIDERED TO BE RELEVANT

Category*	Citation of document, with indication, where appropriate, of the relevant passages	Relevant to claim No.
A	WENINGER Astrid et al. Combinatorial optimization of CRISPR/Cas9 expression enables precision genome engineering in the methylotrophic yeast Pichia pastoris. Journal of Biotechnology, 2016, 235, c. 139-149, doi: 10.1016/j.jbiotec.2016.03.027	1-8
A	MARTIN Negin R. et al. Ep masse lenti viral gene delivery to mouse fertilized eggs via laser perforation of zona pellucida. Transgenic research, 2018, 27(1), c. 39-49 (1-16), doi: 10.1007/s 11248-017-0056-8	1-8
A	KHLESTKINA E.K. et al. Perspektivy ispolzovania proryvnykh tekhnologii v selektsii: sistema CRISPR/CAS9 dlja redakirovaniya genoma rasteny. Genetika, 2016, tom 52, № 7, p. 774-787, doi:10.7868/S0016675816070055	1-8

Further documents are listed in the continuation of Box C.

See patent family annex.

* Special categories of cited documents:

"A" document defining the general state of the art which is not considered to be of particular relevance

"E" earlier application or patent but published on or after the international filing date

"L" document which may throw doubts on priority claim(s) or which is cited to establish the publication date of another citation or other special reason (as specified)

"O" document referring to an oral disclosure, use, exhibition or other means

"P" document published prior to the international filing date but later than the priority date claimed

"T" later document published after the international filing date or priority date and not in conflict with the application but cited to understand the principle or theory underlying the invention

"X" document of particular relevance; the claimed invention cannot be considered novel or cannot be considered to involve an inventive step when the document is taken alone

"Y" document of particular relevance; the claimed invention cannot be considered to involve an inventive step when the document is combined with one or more other such documents, such combination being obvious to a person skilled in the art

"&" document member of the same patent family

Date of the actual completion of the international search

26 October 2020 (26.10.2020)

Date of mailing of the international search report

05 November 2020 (05.11.2020)

Name and mailing address of the ISA/

RU

Authorized officer

Faxsimile No.

Telephone No.

ОТЧЕТ О МЕЖДУНАРОДНОМ ПОИСКЕ

Номер международной заявки

PCT/RU 2020/050145

A. КЛАССИФИКАЦИЯ ПРЕДМЕТА ИЗОБРЕТЕНИЯ

*C12N 15/63 (2020.02)**C12N 15/75 (2020.02)**C12N 9/10 (2020.02)**C12Q 1/6806 (2020.02)*

Согласно Международной патентной классификации МПК

B. ОБЛАСТЬ ПОИСКА

Проверенный минимум документации (система классификации с индексами классификации)

C12N 15/63, C12N 15/75, C12N 9/10, C12Q 1/6806

Другая проверенная документация в той мере, в какой она включена в поисковые подборки

Электронная база данных, использовавшаяся при поиске (название базы и, если, возможно, используемые поисковые термины)

EAPATIS, ESPACENET, PatSearch (RUPTO internal), USPTO, PATENTSCOPE,
NCBI, EMBL-EBI, ScienceDirect, PubMed, E-Library, Google

C. ДОКУМЕНТЫ, СЧИТАЮЩИЕСЯ РЕЛЕВАНТНЫМИ:

Категория*	Цитируемые документы с указанием, где это возможно, релевантных частей	Относится к пункту №
A	WENINGER Astrid и др. Combinatorial optimization of CRISPR/Cas9 expression enables precision genome engineering in the methylotrophic yeast <i>Pichia pastoris</i> . Journal of Biotechnology, 2016, 235, c. 139-149, doi: 10.1016/j.jbiotec.2016.03.027	1-8
A	MARTIN Negin P. и др. <i>En masse</i> lentiviral gene delivery to mouse fertilized eggs via laser perforation of zona pellucida. Transgenic research, 2018, 27(1), c. 39-49 (1-16), doi: 10.1007/s11248-017-0056-8	1-8
A	ХЛЕСТКИНА Е.К. и др. Перспективы использования прорывных технологий в селекции: система CRISPR/CAS9 для редактирования генома растений. Генетика, 2016, том 52, № 7, с. 774-787, doi: 10.7868/S0016675816070055	1-8



последующие документы указаны в продолжении графы С.



данные о патентах-аналогах указаны в приложении

* Особые категории ссылочных документов:		
“A” документ, определяющий общий уровень техники и не считающийся особо релевантным	“T”	более поздний документ, опубликованный после даты международной подачи или приоритета, но приведенный для понимания принципа или теории, на которых основывается изобретение
“D” документ, цитируемый заявителем в международной заявке	“X”	документ, имеющий наибольшее близкое отношение к предмету поиска; заявленное изобретение не обладает новизной или изобретательским уровнем, в сравнении с документом, взятым в отдельности
“E” более ранняя заявка или патент, но опубликованная на дату международной подачи или после нее	“Y”	документ, имеющий наиболее близкое отношение к предмету поиска; заявленное изобретение не обладает изобретательским уровнем, когда документ взят в сочетании с одним или несколькими документами той же категории, такая комбинация документов очевидна для специалиста
“L” документ, подвергающий сомнению притязание(я) на приоритет, или который приводится с целью установления даты публикации другого ссылочного документа, а также в других целях (как указано)	“&”	документ, являющийся патентом-аналогом
“O” документ, относящийся к устному раскрытию, использованию, экспонированию и т.д.		
“P” документ, опубликованный до даты международной подачи, но после даты испрашиваемого приоритета		

Дата действительного завершения международного поиска

26 октября 2020 (26.10.2020)

Дата отправки настоящего отчета о международном поиске

05 ноября 2020 (05.11.2020)

Наименование и адрес ISA/RU:

Федеральный институт промышленной собственности,
Бережковская наб., 30-1, Москва, Г-59,
ГСП-3, Россия, 125993
Факс: (8-495) 531-63-18, (8-499) 243-33-37

Уполномоченное лицо:

Тямкин А.
Телефон № +7 (495) 531-64-81